

TP Electronique Numérique

ENSICAEN 1ere Année Electronique

isabelle.lartigau@ensicaen.fr

arnaud.martin@ensicaen.fr

Table des matières

1 Fonctions combinatoires	3
1.1 Additionneur 1 bit en logique cablée	3
1.2 L'additionneur 1 bit	4
1.2.1 Création d'un projet	4
1.2.2 Création d'un nouveau circuit (composant)	5
1.2.3 Vérification du fonctionnement du circuit (Simulation sous Logisim-Evolution)	7
1.2.4 Création du circuit à partir de la table de vérité	7
1.2.5 Implémentation du circuit sur maquette Basys3	9
1.2.6 Visualisation de l'implémentation avec Vivado.	11
2 L'additionneur 5 bits et décodeur 7 segments	14
2.1 Additionneur 5 bits	14
2.2 L'additionneur-soustracteur 5 bits	17
2.3 Transcodage et affichage	18
2.3.1 Introduction	18
2.3.2 Décodeur Hexa - 7 segments : circuit decodeur_hex_7seg	18
2.3.3 Multiplexage des données : circuit mux_4affi	19
2.3.4 Le circuit affichage complet	21
3 Systèmes séquentiels	22
3.1 Le compteur décompteur entre 1 et 6	22
3.1.1 Circuit evolution_etat	23
3.1.2 Circuit registre	23
3.1.3 Simulation du circuit registre	23
3.1.4 Circuit decodage_sorties	24
3.1.5 Compteur décompteur complet	25
3.1.6 Diviseur d'horloge	25
3.1.7 Compteur décompteur complet avec horloge à 1Hz	25
3.2 Compteur - décompteur et Affichage	26
3.3 Retour sur le projet décodeur	27

3.3.1	Génération des signaux de sélection : sel(1 :0)	27
3.3.2	Projet decodeur complet	28
4	La division	29
4.1	Présentation	29
4.1.1	Principe de la division	29
4.1.2	Algorithme de la division	29
4.2	Réalisation matérielle	30
4.2.1	Shéma de principe	30
4.3	Réalisation de l'unité de contrôle	31
4.3.1	Conception de l'unité de contrôle	31
4.3.2	Réalisation de la machine d'états	33
4.4	L'unité de traitement	34
4.5	La division	34
4.6	La division avec affichage	35
5	Le contrôleur VGA	36
5.1	Présentation du VGA	36
5.2	Comment fonctionnent nos moniteurs?	37
5.3	Spécification de synchronisation VGA	39
5.4	Spécification de synchronisation pour 800x600@72Hz	39
5.5	Astuces	40
5.6	Travail à réaliser	41
6	Annexes	43

Chapitre 1

Fonctions combinatoires

Les fonctions combinatoires sont indispensables au fonctionnement de tout système numérique. La table de vérité d'une fonction combinatoire constitue son ADN, elle fournit des informations claires sur son mode de fonctionnement.

En pratique, toute fonction combinatoire est représentée par des portes logiques simples ET, OU, INV. Pour utiliser le moins de portes possible, on passe par la table de KARNAUGH pour simplifier la fonction.

1.1 Additionneur 1 bit en logique câblée

On souhaite réaliser un additionneur 1 bit simple.

1. Compléter la table de vérité de l'additionneur :

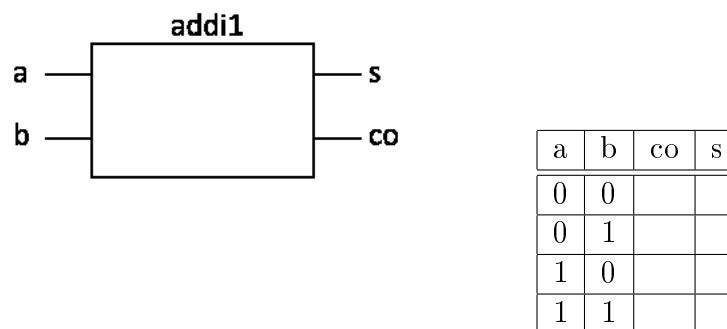


FIGURE 1.1 – Entité d'un additionneur 1 bit + table de vérité

a	b	co	s
0	0	0	0
0	1	0	1
1	0	0	1
1	1	1	0

TABLE 1.1 – Table de vérité complétée de l'additionneur 1 bit

2. En déduire l'équation logique des sorties s et co.

On en déduit que $s = \bar{a}.b + a.\bar{b}$ et que $co = a.b$

3. Réaliser le montage pratique en utilisant des portes logiques NAND (CD4011). Voir la datasheet en Annexe pour réaliser le schéma.

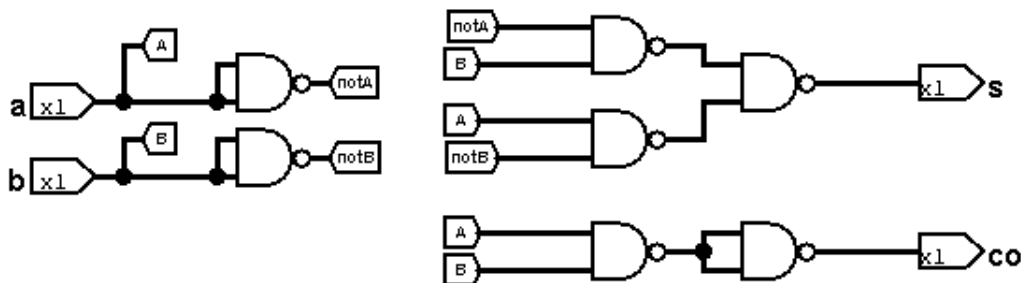


FIGURE 1.2 – Schéma de l'additionneur à base de portes NAND

4. Tester le fonctionnement pour les 4 combinaisons des entrées.

1.2 L'additionneur 1 bit

La réalisation pratique se fera maintenant sur un composant programmable de type FPGA. On utilisera le logiciel Logisim-Evolution pour décrire le circuit ou fournir la table de vérité. La table de vérité pourra être traduite en portes logiques par l'outil de synthèse. L'implémentation va générer un fichier de configuration qui, une fois chargé dans le composant, va générer les portes logiques nécessaires et les connecter comme il se doit pour réaliser l'additionneur.

1.2.1 Création d'un projet

- Démarrer le logiciel Logisim-Evolution. Le logiciel s'ouvre en créant un nouveau projet qu'il faut sauvegarder.
- *File > Enregistrer*

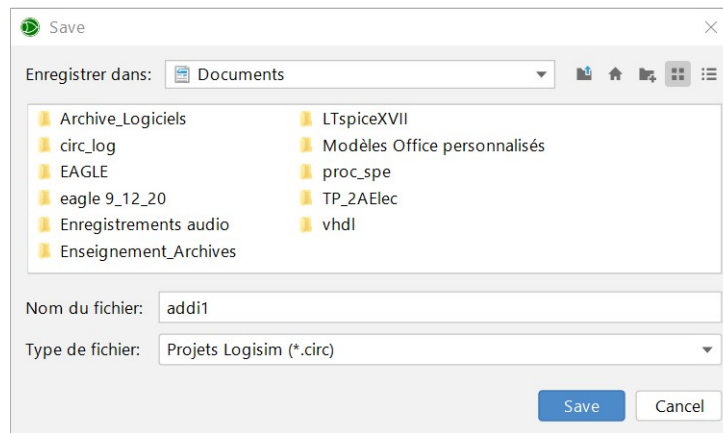


FIGURE 1.3 – Création du Projet

1.2.2 Création d'un nouveau circuit (composant)

- Renommer le circuit *main* en *add1* : *Propriétés* >> *Nom du circuit* >> *add1*

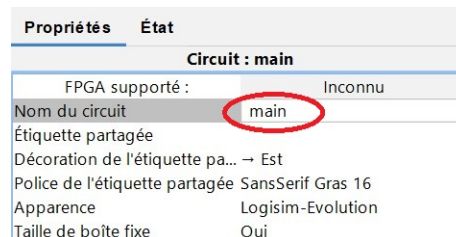


FIGURE 1.4 – Création du circuit

- Dessiner le schéma du circuit additionneur 1 bit. Le panneau de navigation permet d'accéder à tous les composants des bibliothèques pour dessiner un circuit logique. Par exemple, dans la bibliothèque *Portes logiques*, se trouvent les portes NAND nécessaires.

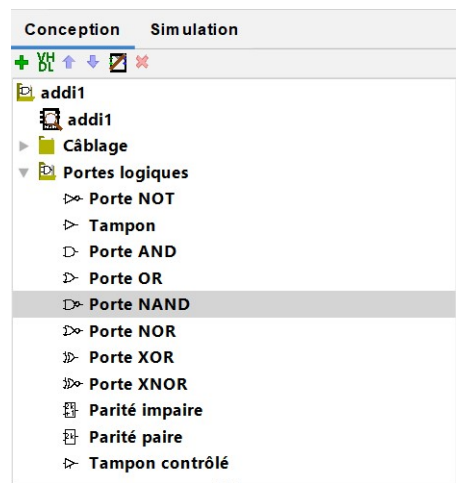


FIGURE 1.5 – Bibliothèques de Logisim

- Sélectionner et positionner les portes nécessaires.
- Puis sélectionner les broches d'entrée et de sortie dans la barre d'outils. Pour chaque entrée ou sortie, il faut indiquer son nom dans l'onglet *Étiquette*.



FIGURE 1.6 – Entrées/Sorties

Propriétés	État
Broche (80,110)	
FPGA supporté :	Pris en charge
Orientation	→ Est
Sortie ?	Non
Largeur données	1
Trois états ?	Non
Comportement	Inchangé
Étiquette	a
Police de l'étiquette	SansSerif Gras 16
Base	Binaire
Apparence	Formes de flèche

FIGURE 1.7 – Modification du nom des Entrées/Sorties

- Enfin, il faut réaliser les connectiques entre les différents éléments en sélectionnant l'outil *Cables* dans la barre d'outils.

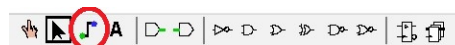


FIGURE 1.8 – Outil Cablage

Remarque : il est possible d'adapter le nombre d'entrées des portes logiques dans l'onglet *Nombre d'entrées*.

Propriétés	État
Porte OR (380,380)	
FPGA supporté :	Pris en charge
Orientation	→ Est
Largeur données	1
Dimension dessin	moyen
Nombre d'entrées	3
Valeur de sortie	0/1
Étiquette	
Police de l'étiquette	SansSerif Gras 16
Inverseur 1 (↑ Haut)	Non
Inverseur 2 (↓ Bas)	Non

FIGURE 1.9 – Changement du nombre d'entrées d'une porte logique

1.2.3 Vérification du fonctionnement du circuit (Simulation sous Logisim-Evolution)

- Sélectionner l'onglet simulation, et vérifier que le simulation tourne en continu (premier bouton).

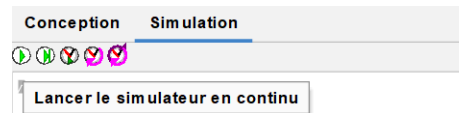


FIGURE 1.10 – Onglet Simulation

- Sélectionner dans la barre d'outils l'onglet qui permet de changer les valeurs des entrées dans le circuit. Vérifier la table de vérité en changeant les valeurs des entrées a et b.

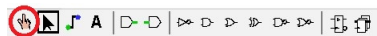


FIGURE 1.11 – Changement des valeurs d'entrée

- Fixer les valeurs des entrées pour tester toutes les combinaisons possibles des entrées a et b et valider le fonctionnement du circuit.

1.2.4 Création du circuit à partir de la table de vérité

On souhaite maintenant réaliser un additionneur complet à la place de l'additionneur simple.

- Supprimer le circuit précédent dessiné dans *addi1*.

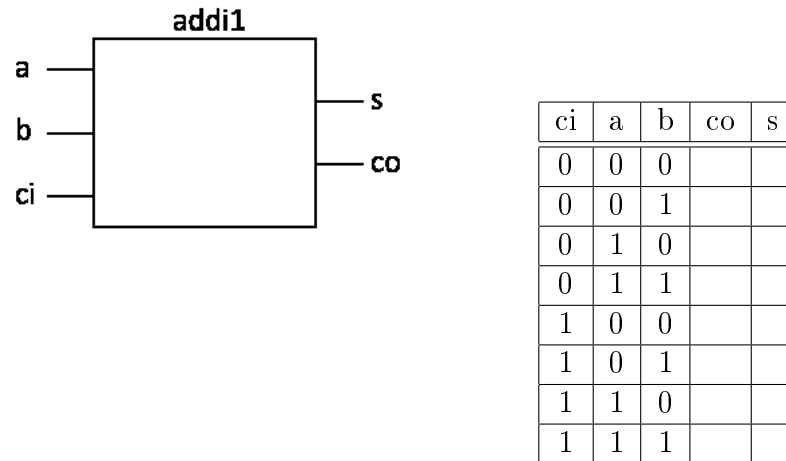


FIGURE 1.12 – Additionneur 1 bit complet

- Compléter la table de vérité de l'additionneur complet.
- Logisim propose la création de circuit logique à partir d'une table de vérité. On renseigne la table de vérité et on laisse à Logisim le soin de générer et dessiner le circuit correspondant. Pour cela :
Projet >> Analyser le circuit
- Dans l'onglet *Entrées & Sorties* : Renseigner les entrées et les sorties.

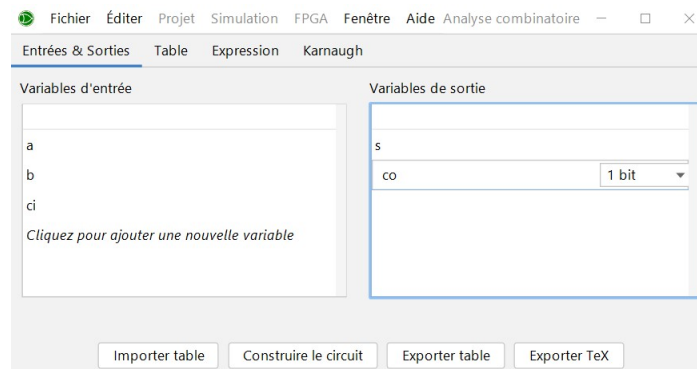


FIGURE 1.13 – Entrées et Sorties de la table de vérité

- Dans l'onglet *Table* : Ecrire la table de vérité. Les combinaisons des entrées sont déjà écrites.

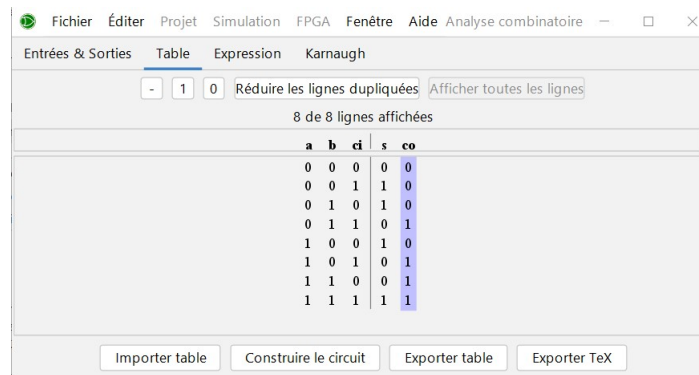


FIGURE 1.14 – Ecriture de la table de vérité

- Vérifier l'équation logique dans l'onglet *Expression* de cette fenêtre ainsi que les tables de Karnaugh des deux sorties dans l'onglet *Karnaugh*.
- Générer le circuit : *Construire le circuit* >> *OK*

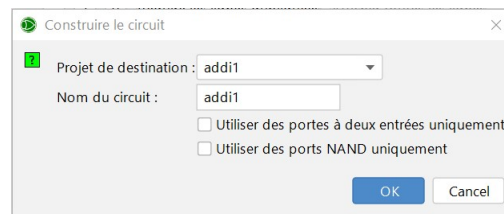


FIGURE 1.15 – Génération du circuit

- Simuler le circuit et vérifier son fonctionnement

1.2.5 Implémentation du circuit sur maquette Basys3

On souhaite implémenter ce circuit sur FPGA.

- Choisir un dossier dans lequel sera généré le projet : *Fichier* >> *Préférences*
- Se placer dans l'onglet *FPGA Commander paramètres* et indiquer l'emplacement du projet.

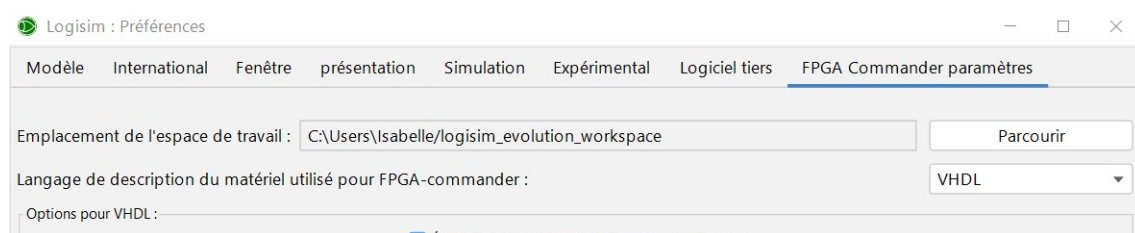


FIGURE 1.16 – Choix de l'emplacement de l'espace de travail

- Sélectionner *FPGA* >> *Synthétiser et télécharger*.

- Choisir la *carte Cible* : *BASYS3*.

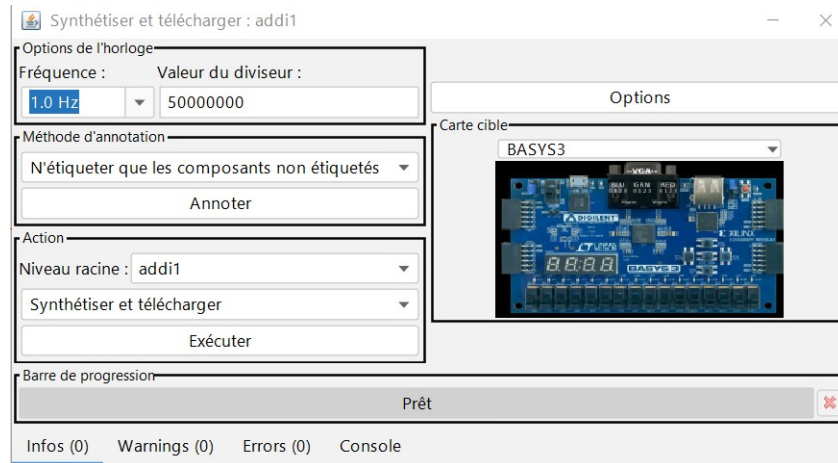


FIGURE 1.17 – Synthèse sur BASYS3

- Cliquer sur *Annoter*.
- Dans le cadre *Actions*, sélectionner
 - le niveau racine correct (*addi1*),
 - *Synthétiser et télécharger*
- Cliquer sur *Exécuter*.
- Réaliser le mappage : Associer les noms d'entrées et de sorties aux périphériques d'entrée et de sorties
 - Entrées -> Switchs
 - Sorties -> LEDs

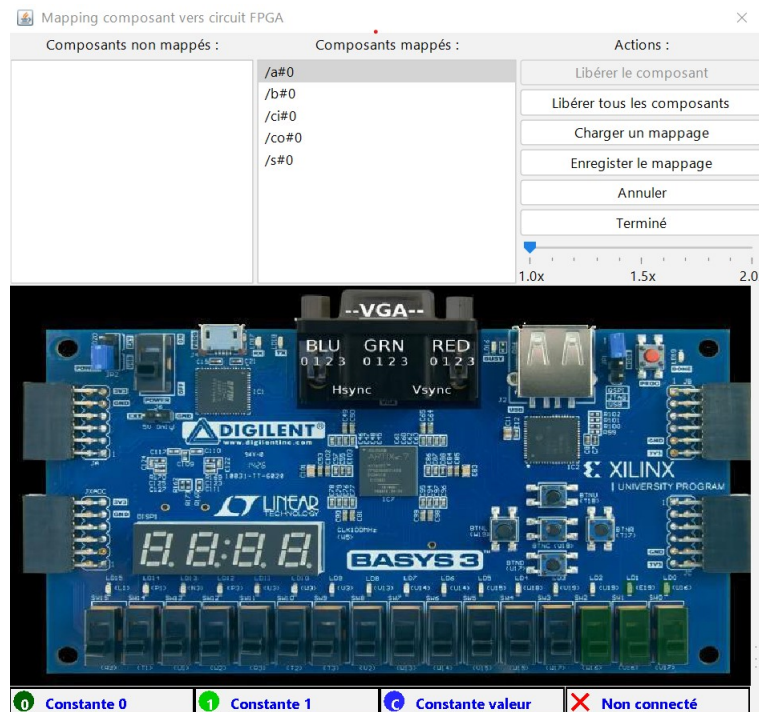


FIGURE 1.18 – Synthèse et mappage sur BASYS3

- Cliquer sur *Terminé*.
- Connecter la carte BASYS3 puis télécharger :

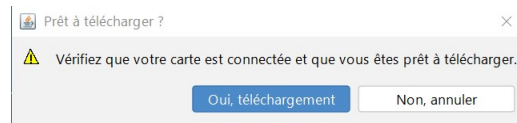
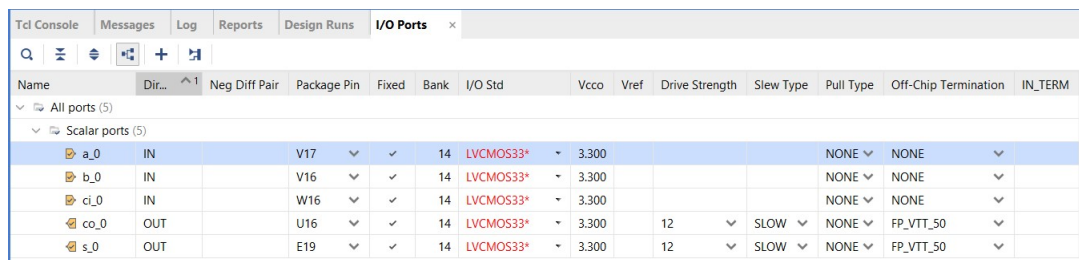


FIGURE 1.19 – Téléchargement sur BASYS3

- Tester sur la maquette.

1.2.6 Visualisation de l'implémentation avec Vivado.

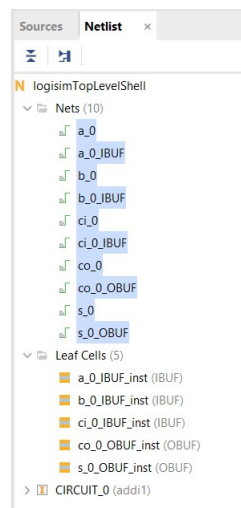
- Ouvrir le projet *vp.xpr* généré par Logisim dans le dossier sélectionné précédemment. Le projet se trouve dans *Sandbox >> vp*. Le projet s'ouvre avec le logiciel Vivado.
- Dans Vivado, choisir *RTL Analysis >> Open Elaborated Design*.
- *Window >> I/O Ports* pour voir les broches d'entrées/sorties choisies sur la maquette.



Name	Dir...	Neg Diff Pair	Package Pin	Fixed	Bank	I/O Std	Vcco	Vref	Drive Strength	Slew Type	Pull Type	Off-Chip Termination	IN_TERM
All ports (5)													
Scalar ports (5)													
a_0	IN		V17	✓	14	LVC MOS33*	3.300				NONE	NONE	
b_0	IN		V16	✓	14	LVC MOS33*	3.300				NONE	NONE	
ci_0	IN		W16	✓	14	LVC MOS33*	3.300				NONE	NONE	
co_0	OUT		U16	✓	14	LVC MOS33*	3.300		12	SLOW	NONE	FP_VTT_50	
s_0	OUT		E19	✓	14	LVC MOS33*	3.300		12	SLOW	NONE	FP_VTT_50	

FIGURE 1.20 – Visualisation des broches sur Vivado

- Identifier dans la colonne *Package Pin* les noms des broches du FPGA choisies. Vérifier la correspondance sur la maquette BASYS3 ainsi que sur le schéma de la datasheet de la BASYS3 (voir Annexe).
- Cliquer sur *Window >> Package* pour visualiser la localisation des broches sur le boîtier du FPGA.
- Cliquer sur *Implementation >> Open Implemented Design* pour visualiser l'implémentation réelle sur le composant FPGA.
- Dans l'onglet *Netlist*, sélectionner l'ensemble des Nets.



```

Sources Netlist x
├─ logisimTopLevelShell
│  └─ Nets (10)
│     ├── a_0
│     ├── a_0_IBUF
│     ├── b_0
│     ├── b_0_IBUF
│     ├── ci_0
│     ├── ci_0_IBUF
│     ├── co_0
│     ├── co_0_OBUF
│     ├── s_0
│     └── s_0_OBUF
│  └─ Leaf Cells (5)
│     ├── a_0_IBUF_inst (IBUF)
│     ├── b_0_IBUF_inst (IBUF)
│     ├── ci_0_IBUF_inst (IBUF)
│     ├── co_0_OBUF_inst (OBUF)
│     └── s_0_OBUF_inst (OBUF)
└─ CIRCUIT_0 (addi1)

```

FIGURE 1.21 – Sélection des connections

- Analyser dans la fenêtre *Device* les différents éléments
 - Blocs *Inputs/Outputs (IOB)* : Pads, Buffers
 - Blocs *logiques configurables (CLB)* : Slices et LUTs : Blocs de mémoire dans lequel est implémentée la fonction logique
- Vérifier les tables de vérité implémentées dans les LUTs : Sélectionner la LUT puis *Propriétés >> Truth Table*.

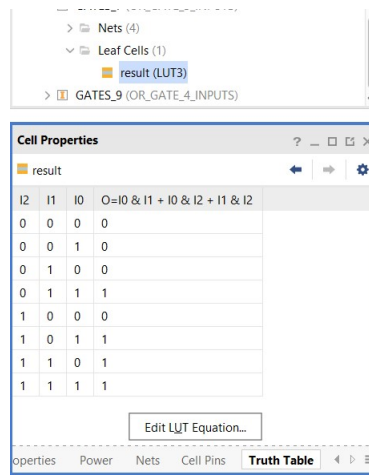


FIGURE 1.22 – Visualisation de la table de vérité d'une LUT

Chapitre 2

L'additionneur 5 bits et décodeur 7 segments

2.1 Additionneur 5 bits

- L'additionneur 5 bits est construit avec 5 additionneurs 1 bit en cascade. Vu de l'extérieur, il ressemble à cela :

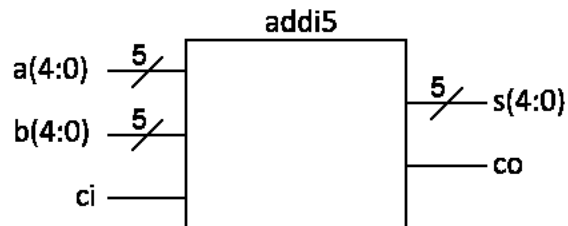


FIGURE 2.1 – Entité de l'Additionneur 5 bits

- Structure interne :

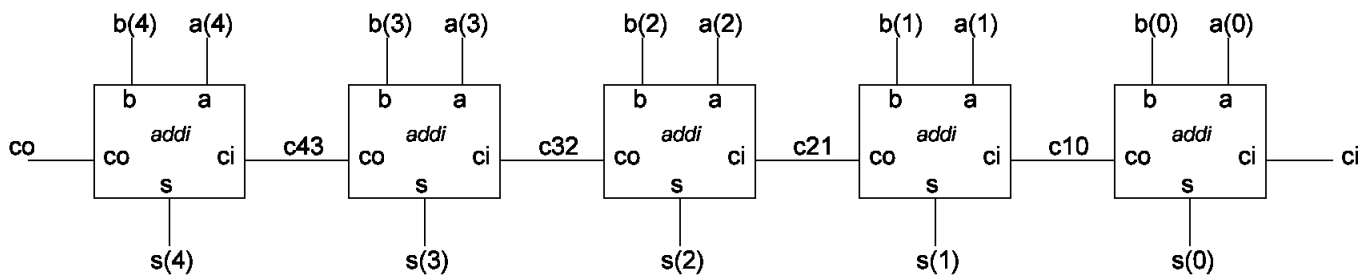


FIGURE 2.2 – Structure interne (architecture) de l'additionneur 5 bits

- Créer nouveau projet : *add_sous*.

- Récupérer le circuit *addi1* réalisé au TP précédent : *Projet >> Charger une librairie>> Librairie logisim-Evolution*
- Ajouter la librairie du premier TP : *addi1.circ*

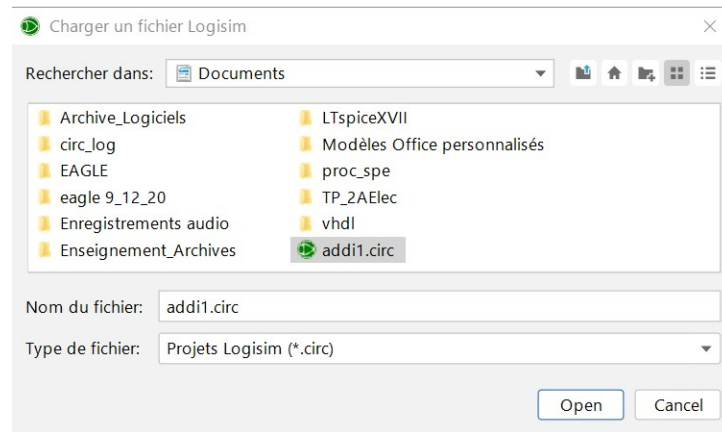


FIGURE 2.3 – Ajout d'une librairie

- La librairie *addi1* est maintenant ajoutée à la liste des bibliothèques disponibles dans Logisim.
- Renommer le main en *addi5*.
- Câbler l'additionneur 5 bits en utilisant le circuit *addi1*.
 - Les entrées sont des bus de taille 5 bits, ce paramètre est changé dans l'onglet *Largeur données*.

Propriétés	État
Broche "a"	
FPGA supporté :	Pris en charge
Orientation	→ Est
Sortie ?	Non
Largeur données	5
Trois états ?	Non
Comportement	Inchangé
Étiquette	a
Police de l'étiquette	SansSerif Gras 16
Base	Binaire
Apparence	Formes de flèche

FIGURE 2.4 – Changement de la taille du bus d'entrée

- Les bus d'entrée et de sortie doivent être découpés bit à bit pour s'adapter à l'entrée du circuit *addi1*. Pour cela, on utilise un *répartiteur (Splitter)* à sélectionner dans la librairie *Câblage*.
- Pour ce répartiteur, indiquer son orientation, le nombre de terminaisons et la largeur du faisceau dans les propriétés.

Propriétés	État
Répartiteur (Splitter) (160,210)	
FPGA supporté :	Pris en charge
Orientation	→ Est
Nbr Terminaisons	5
Largeur faisceau	5
Apparence	À gauche
Espacement	3
Bit 0	0 (↑ Haut)
Bit 1	1
Bit 2	2
Bit 3	3
Bit 4	4 (↓ Bas)

FIGURE 2.5 – Changement des propriétés du répartiteur

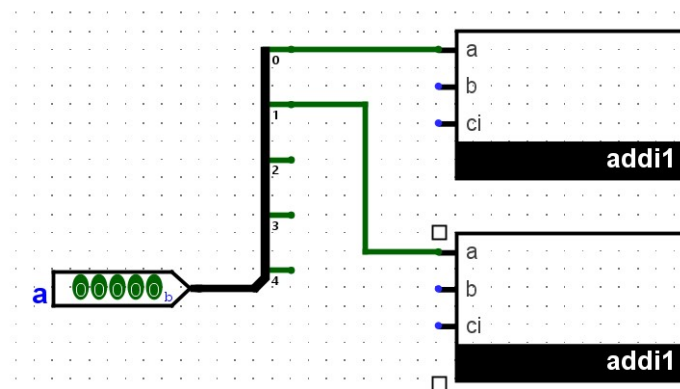


FIGURE 2.6 – Connexion du répartiteur avec le bus et le circuit addi1

— Il est possible de changer la base pour les valeurs d'entrées ou de sortie

Propriétés	État
Broche "a"	
FPGA supporté :	Pris en charge
Orientation	→ Est
Sortie ?	Non
Largeur données	5
Trois états ?	Non
Comportement	Inchangé
Étiquette	a
Police de l'étiquette	SansSerif Gras 16
Base	Binaire
Apparence	Binaire
	Octal
	Décimal signé
	Décimal non-signé
	Hexadécimal
	Flottant

FIGURE 2.7 – Changement de base pour la représentation des nombres

- Simuler le circuit *addi5* et vérifier son fonctionnement pour quelques combinaisons des entrées.
- Implémenter et tester sur la maquette.

2.2 L'additionneur-soustracteur 5 bits

- Le soustracteur 5 bits est réalisé avec un additionneur 5 bits. Comme $A - B = A + (-B)$, on fait le complément à 2 de B, c'est à dire (le complément à 1) + 1. B est inversé pour compléter à 1, ci=op est mise à 1 pour faire +1.
- La figure suivante donne la vue externe (l'entité) de l'additionneur soustracteur, l'entrée op permet de sélectionner l'addition (op = 0) ou la soustraction (op = 1) :

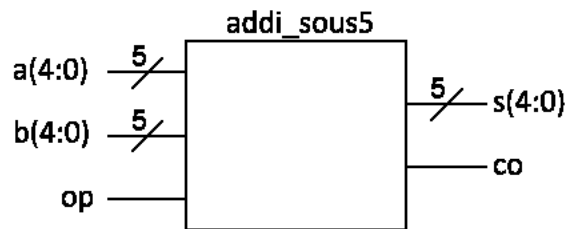


FIGURE 2.8 – Additionneur-Soustracteur 5 bits

- Structure interne (architecture) de l'additionneur soustracteur 5 bits :

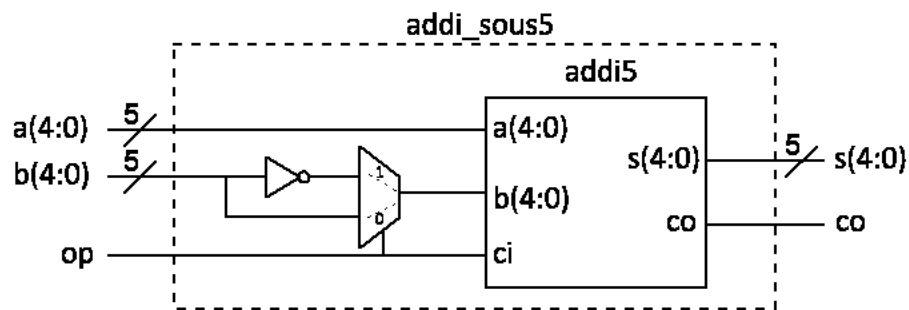


FIGURE 2.9 – Architecture de l'additionneur-soustracteur 5 bits

- Réaliser le circuit *addi_sous5*.
- Simuler le circuit et vérifier son fonctionnement pour quelques combinaisons des entrées.
- Implémenter et tester sur la maquette.

2.3 Transcodage et affichage

2.3.1 Introduction

Sur la maquette BASYS3, il y a 4 afficheurs à 7 segments qui reçoivent tous les mêmes données à afficher. Heureusement, chaque afficheur possède un signal de sélection qui permet de l'allumer ou non. En faisant tourner rapidement la sélection individuelle des afficheurs, l'œil humain a l'impression de les voir tous allumés en même temps.

- Pour commencer, il faut créer un décodeur hexadécimal vers 7 segments (circuit *decodeur_hex_7seg*) qui transforme un code binaire sur 4 bits en 7 signaux qui affichent le caractère correspondant sur l'afficheur.
- Ensuite, il faudra gérer la rotation des données sur les afficheurs (circuit *mux_4affi*), ainsi que la sélection individuelle des afficheurs (entrée *sel*)

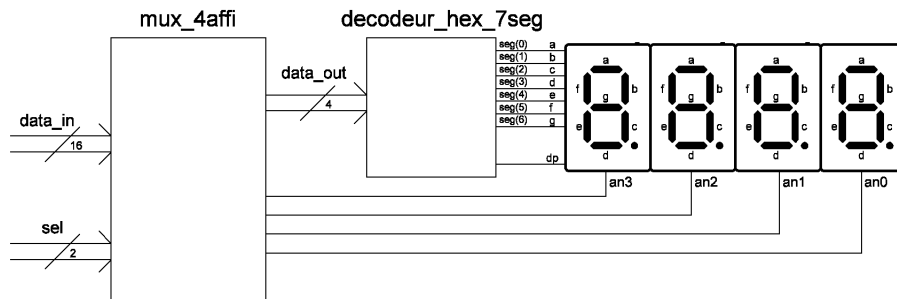


FIGURE 2.10 – Schéma de principe du transcodeur

2.3.2 Décodeur Hexa - 7 segments : circuit *decodeur_hex_7seg*

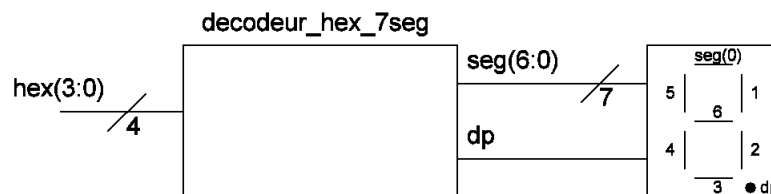


FIGURE 2.11 – Schéma de principe du décodeur hexadécimal 7 segments

- Le décodeur reçoit une entrée sur 4 bits (code hexadécimal) et fournit 8 sorties à l'afficheur (7 segments + le point décimal).
- Pour allumer une led (segment ou point décimal) de l'afficheur, il faut affecter son entrée à 1.
- Compléter la table de vérité du décodeur en considérant que le point décimal est toujours éteint.

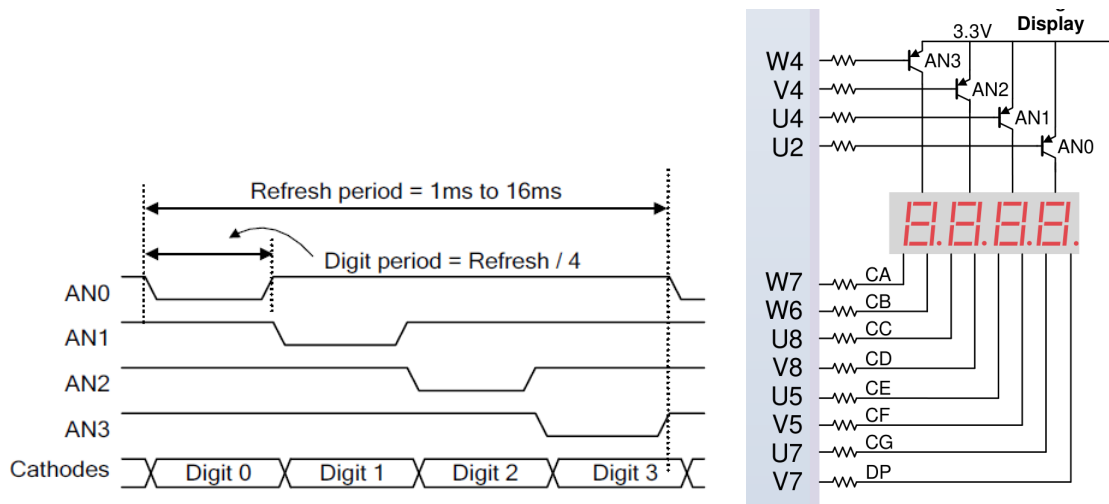


FIGURE 2.13 – Chronogramme présentant le multiplexage

- Cette étape consiste à réaliser le multiplexage des 16 signaux d'entrée nommés $data_in(15 : 0)$ vers les 4 sorties $data_out(3 : 0)$. La sélection se fera par 2 fils nommés $sel(1 : 0)$ et le choix de l'afficheur se fait à l'aide du bus $an(3 : 0)$. Le tableau suivant explique le mode de sélection.

$sel(1 : 0)$	afficheur sélectionné	$an(3 : 0)$	$data_out(3 : 0)$
00	1	1110	$data_in(3 : 0)$
01	2	1101	$data_in(7 : 4)$
10	3	1011	$data_in(11 : 8)$
11	4	0111	$data_in(15 : 12)$

TABLE 2.2 – Multiplexage de $data_in$ et sélection de an en fonction de l'entrée sel

- Créer un nouveau circuit nommé mux_4affi dont la vue externe (entité) est représentée par la figure suivante :

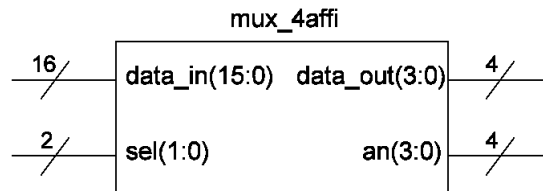


FIGURE 2.14 – Entité de mux_4affi

- En utilisant les multiplexeurs disponibles dans Logisim-Evolution, câbler l'architecture de l'entité mux_4affi .
- Simuler son fonctionnement.

2.3.4 Le circuit affichage complet

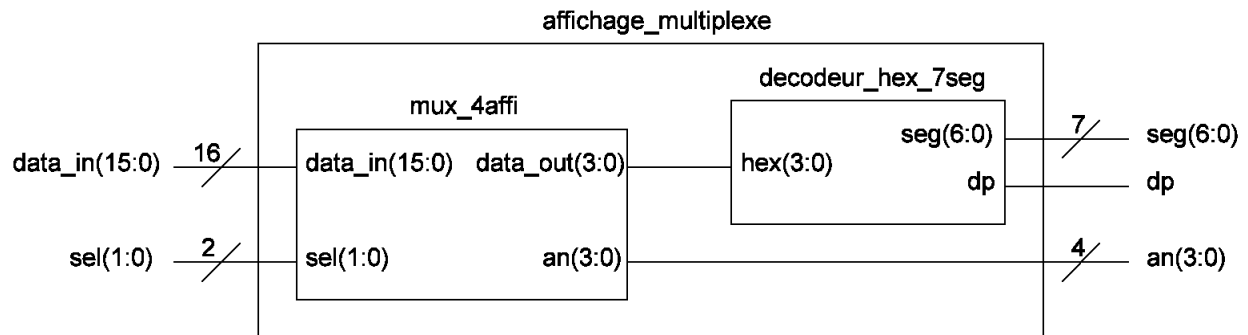


FIGURE 2.15 – Entité et architecture du circuit affichage

- Créer un nouveau circuit `affichage_multiplexe` dont l'entité et l'architecture sont représentées par la figure précédente. Câbler le circuit `affichage_multiplexe`.
- Simuler le projet.
- Programmer le composant cible et tester le fonctionnement sur la maquette. L'entrée `sel` sera réalisée par des boutons poussoirs.

Chapitre 3

Systemes séquentiels

Les circuits logiques sont classés en deux catégories : combinatoires et séquentiels. Un circuit combinatoire se caractérise par le fait que l'état de ses sorties ne dépend que de l'état de ses entrées. C'est le cas du décodeur hexadécimal vers 7 segments étudié précédemment.

Par contre, l'état futur des sorties d'un système séquentiel dépendra de l'état des entrées mais aussi de l'état actuel des sorties. C'est le cas des feux tricolores : si le feu est actuellement vert il passera tout à l'heure à l'orange, s'il est rouge il passera au vert, ... Il passe de façon séquentielle, du vert à l'orange, de l'orange au rouge et du rouge au vert.

Pour réaliser un circuit séquentiel, il faut mémoriser l'état présent, et s'en servir pour le calcul de l'état futur avec une fonction combinatoire. Ce qui donne le schéma fonctionnel suivant, connu sous le nom de machine de Moore.

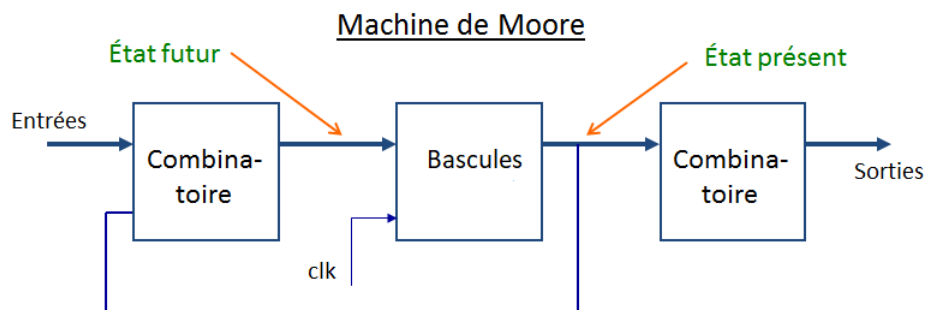


FIGURE 3.1 – Machine de Moore

3.1 Le compteur décompteur entre 1 et 6

On souhaite réaliser un circuit séquentiel qui compte et décompte de 1 à 6. Le système est compteur si $up/dn = 1$ et décompteur si $up/dn = 0$. Le schéma de principe du compteur-décompteur est représenté sur la figure suivante :

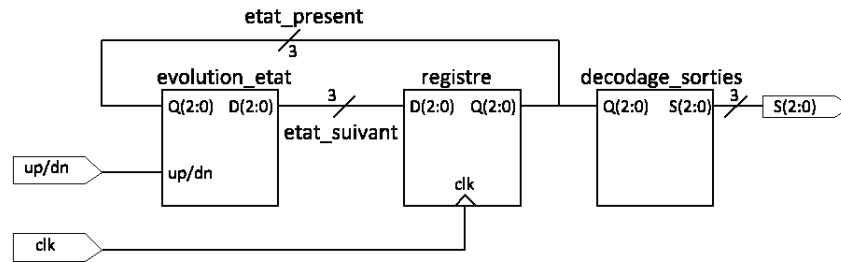


FIGURE 3.2 – Schéma de principe du compteur décompteur

- Créer un nouveau projet, nommé *compteur_decompteur*.

3.1.1 Circuit *evolution_etat*

- Créer un nouveau circuit nommé *evolution_etat*. Reprendre la table de vérité des états du compteur de 1 à 6 établie en TD, la compléter en ajoutant une entrée nommée *up/dn* au système. Réaliser le circuit *evolution_etat* à partir de sa table de vérité.
- Simuler son fonctionnement.

3.1.2 Circuit *registre*

- Créer un nouveau circuit nommé *registre*.
- En utilisant les bascules D disponibles dans Logisim-Evolution, câbler l'architecture de l'entité *basculesD*.

3.1.3 Simulation du circuit *registre*

On souhaite pour ce circuit séquentiel visualiser l'évolution des signaux et afficher les chronogrammes.

- Passer dans l'onglet *Simulation*. La barre d'outils propose 3 possibilités d'évolution de l'horloge :
 - le premier bouton permet de démarrer ou de stopper la simulation,
 - le troisième bouton permet d'activer le cadencement de l'horloge
 - le quatrième bouton permet de faire avancer l'horloge d'une demi-période
 - le cinquième bouton permet de faire avancer l'horloge sur une période.



FIGURE 3.3 – Possibilité d'évolution de l'horloge

- Activer le cadencement de l'horloge. Pour cette activation, il est demandé de sélectionner le signal qui servira d'horloge : Sélectionner le signal *clk*.

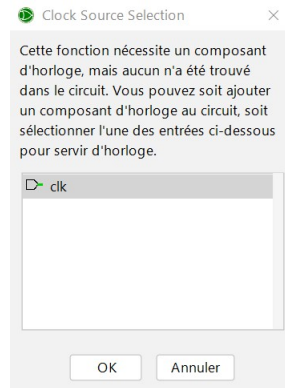


FIGURE 3.4 – Choix de l’horloge pour le circuit

- Il faut également choisir la fréquence de ce signal d’horloge : *Simulation >> Fréquence des tics >>*
- Tester les différentes possibilités de cadencement de l’horloge et visualiser sur le schéma l’évolution des signaux.
- On peut également visualiser le résultat de la simulation sur un chronogramme : *Simulation >> Chronogramme*
- Mettre la simulation en Pause. Dans l’onglet *Options* : Choisir *Mode continu en temps réel*
- Dans l’onglet *Chronogramme* : Choisir les signaux à afficher avec *Ajouter ou Supprimer des signaux*

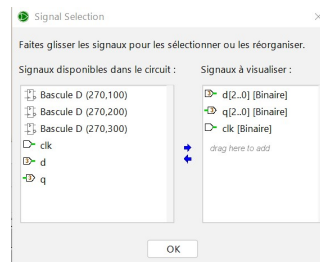


FIGURE 3.5 – Choix des signaux à afficher

- Lancer la simulation, visualiser et valider la simulation sur le chronogramme.

3.1.4 Circuit decodage_sorties

- Créer un nouveau circuit nommé *decodage_sorties*. Réaliser le circuit *decodage_sorties* à partir de sa table de vérité.
- Simuler son fonctionnement.

3.1.5 Compteur décompteur complet

- Créer un nouveau circuit nommé *compteur_decompteur*.
- Réaliser le circuit *compteur_decompteur* à partir des entités *evolution_etat*, *registre* et *decodage_sorties* selon le schéma précédent.
- Simuler le projet.
- Programmer le composant cible et tester le fonctionnement sur les LEDs de la maquette.
- Que constatez-vous ? Comment remédier à ce problème ?

3.1.6 Diviseur d'horloge

- Un compteur binaire à N bits peut être utilisé comme diviseur de fréquence.

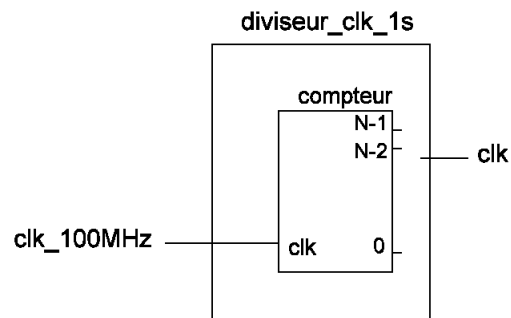


FIGURE 3.6 – Schéma de principe du diviseur

- Créer un circuit *diviseur_clk_1s*.
- Pour réaliser ce diviseur, utiliser le composant *Compteur* dans la librairie *Memoire/Sequentiel* de Logisim.
- Configurer et cabler le composant pour réaliser une division d'horloge par 8 en utilisant l'aide de Logisim : *Aide >> Guide Utilisateur >> Référence de la bibliothèque >> Memory Library >> Compteurs*
- Simuler et valider le fonctionnement grâce aux chronogrammes.
- La fréquence de la maquette BASYS3 est 100MHz. Configurer le compteur pour avoir une fréquence de sortie de 1Hz. Utiliser dans ce cas la possibilité de fixer la valeur maximum du comptage.

3.1.7 Compteur décompteur complet avec horloge à 1Hz

- Compléter le circuit *compteur_decompteur* avec le circuit *diviseur_clk_1s*.

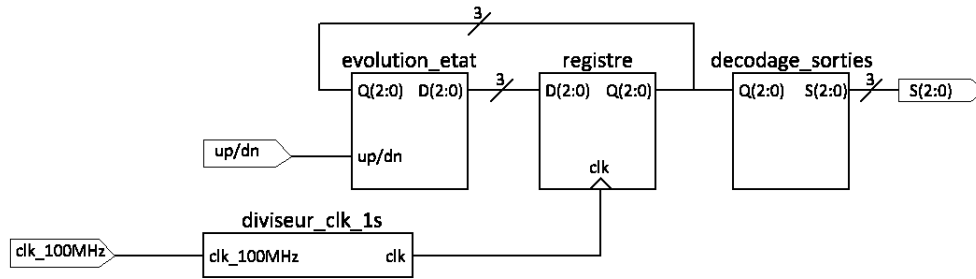


FIGURE 3.7 – Schéma de principe du compteur décompteur avec le diviseur d'horloge

- Programmer le composant cible et tester le fonctionnement sur les LEDs de la maquette.

3.2 Compteur - décompteur et Affichage

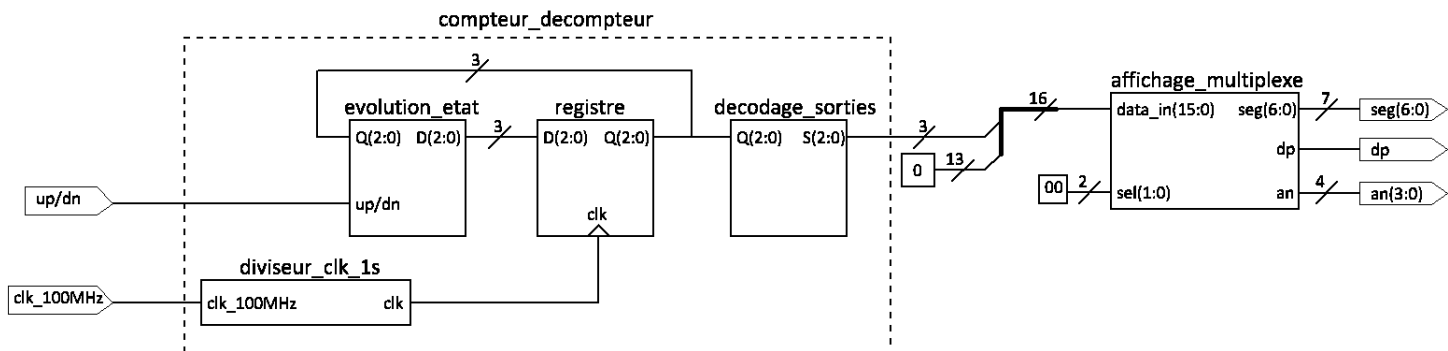


FIGURE 3.8 – Schéma de principe du compteur décompteur avec affichage

- Créer un nouveau projet *compteur_decompteur_afficheur*.
- Ajouter la librairie du TP précédent : *affichage_multiplexe.circ* dans laquelle se trouve le circuit *affichage_multiplexe*.
- Ajouter la librairie du TP précédent : *compteur_decompteur.circ* dans laquelle se trouve le circuit *compteur_decompteur*.
- Réaliser le circuit *compteur_decompteur_afficheur* à partir des entités *compteur_decompteur* et *affichage_multiplexe* selon le schéma précédent.
- Programmer le composant cible et tester le fonctionnement sur la maquette.

3.3 Retour sur le projet décodeur

On souhaite reprendre et améliorer le décodeur hexadécimal - 7 segments réalisé au TP précédent. Pour cela, on voudrait que l'entrée *sel* (qui permet de sélectionner l'afficheur) évolue régulièrement sans avoir à la commander par un bouton poussoir.

3.3.1 Génération des signaux de sélection : sel(1 :0)

L'évolution de l'entrée *sel* permet de choisir l'afficheur et les données qui le concernent. Il faut faire évoluer la valeur *sel* de façon suffisamment rapide pour balayer les 4 afficheurs sans que l'œil humain ne s'aperçoive du clignotement. On choisit une période de rafraîchissement de l'ordre de 2.6 ms. Un diviseur de fréquence permet d'obtenir cette fréquence à partir de l'horloge de la maquette $f_{clk-100MHz} = 100MHz$.

- Sachant que la période de *clk* vaut $T_{clk} = 10ns$, une division de fréquence 2^{18} permet de fournir un signal de période $T_{sel} = 2^{18} \cdot 10ns = 2,6ms$.

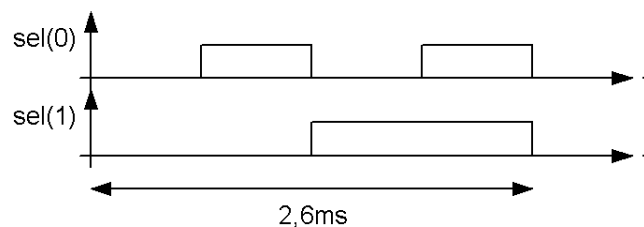


FIGURE 3.9 – Chronogramme des signaux *sel*

- Un compteur binaire à 18 bits (17 : 0) est utilisé comme diviseur de fréquence. La sortie sel(1) est connectée au bit 17 du compteur, la sortie sel(0) au bit 16.

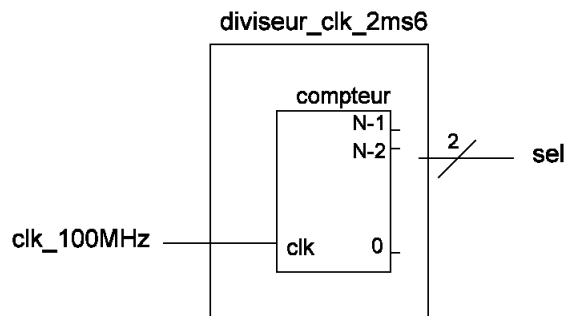


FIGURE 3.10 – Schéma de principe du diviseur

- Copier le projet *affichage_multiplexee* en *affichage_sequentiel_multiplexe*.

- Créer un nouveau circuit nommé *diviseur_clk_2ms6*.
- En utilisant un compteur disponible dans Logisim-Evolution, câbler l'architecture de l'entité *diviseur_clk_2ms6*.

3.3.2 Projet decodeur complet

- Créer un nouveau circuit *affichage_sequentiel_multiplexe* dont l'entité et l'architecture sont représentées par la figure suivante :

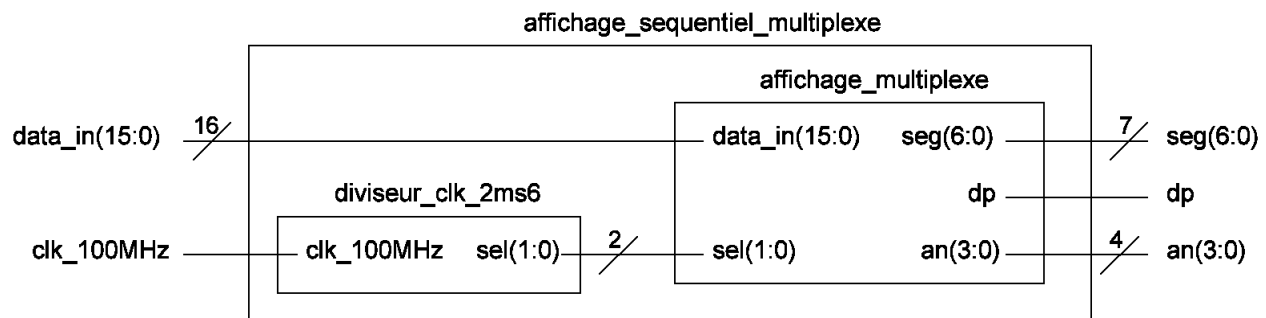


FIGURE 3.11 – Schéma de principe du décodeur complet

- Simuler le projet.
- Programmer le composant cible et tester le fonctionnement sur la maquette.

Chapitre 4

La division

4.1 Présentation

4.1.1 Principe de la division

L'opération de division ne conduit pas à un opérateur arithmétique structuré cascadable ou arborescent comme l'addition, la soustraction ou la multiplication. Il s'agit d'une opération plus complexe reposant sur les autres opérateurs. Toutefois, comme pour les autres opérateurs, le principe d'implémentation de la division s'inspire de la manière de diviser 2 nombres à la main. Un exemple est illustré en figure 4.1. En base 10, le diviseur multiplié par des puissances de 10 est soustrait au dividende autant de fois que possible. En base 2, les multiplications sont avantageusement remplacées par des décalages à gauche. L'implémentation de la division reprend cette démarche. Elle peut être réalisée de façon logicielle (soft) sur une UAL donnée ou matérielle (hard). Une réalisation hard présente l'avantage d'être optimisée et donc plus rapide. Ce TD/TP a pour objectif ce type de réalisation hard de diviseur.

$$\begin{array}{r|l} 156 & 12 \\ 120 & 13 \\ \hline 36 & \\ 36 & \\ \hline 0 & \end{array}$$

FIGURE 4.1 – Exemple de division en base 10. $156=12*10+3*12$

4.1.2 Algorithme de la division

De nombreux algorithmes existent pour implémenter une division de nombres binaires. L'algorithme choisi dans ce TD/TP est l'algorithme sans restauration (Non Restoring Division Algorithm).

Les étapes de cet algorithme sont décrites ci-dessous et un exemple suit dans le tableau 4.2.

Algorithme de division sans restauration :

- Décalage des registres P et A de 1 bit vers la gauche.
- Si le contenu du registre P est :

- négatif : on additionne le contenu du registre B à P
- positif : on soustrait le contenu du registre B à P
- Si le résultat chargé dans P est négatif on met le bit de poids faible de A (A0) à « 0 » sinon à « 1 ».
- Ces étapes sont répétées N fois, N étant le format des données, ici N=4.

Opération élémentaire	P	A	Commentaires
	$P_3P_2P_1P_0$	$A_3A_2A_1A_0$	
Chargement des registres	00000	0111	Initialisation des registres. Chargement du dividende (A) et du diviseur (B)
décalage	00000	111-	décalage P,A de 1 bit à gauche
-B	11110	111-	$P \geq 0$, on soustrait le diviseur B ($P+(-B)$).
$A0 \leq 0$	11110	1110	résultat ≤ 0 , A0 mis à « 0 ».
décalage	11101	110-	décalage P,A de 1 bit à gauche
+B	00010	110-	$P < 0$, on additionne le diviseur B ($P+B$).
$A0 \leq 0$	11111	1100	résultat ≤ 0 , A0 mis à « 0 ».
décalage	11111	100-	décalage P,A de 1 bit à gauche
+B	00010	100-	$P < 0$, on additionne le diviseur B ($P+B$).
$A0 \leq 1$	00001	1001	résultat > 0 , A0 mis à « 1 ».
décalage	00011	001-	décalage P,A de 1 bit à gauche
-B	11110	001-	$P \geq 0$, on soustrait le diviseur B ($P+(-B)$).
$A0 \leq 1$	00001	0011	résultat > 0 , A0 mis à « 1 ».
		quotient	

FIGURE 4.2 – Algorithme de la division sans restauration. Exemple de la division de 7 (0111) dans le registre A par 2 (0010) dans le registre B. Remarque : la soustraction de 2 est représentée dans le tableau par l’addition de -2 (11110). Le quotient obtenu 0011 (3) correspond au résultat de la division de 7 par 2.

4.2 Réalisation matérielle

4.2.1 Shéma de principe

L’implémentation matérielle de l’algorithme de division nécessite une structure logique avec une unité de traitement (UT) dédiée aux opérations élémentaires et une unité de contrôle (UC) chargée de la piloter. Une structure de ce type, celle utilisée dans ce TD/TP, est illustrée en figure 4.3. La demande de division, DIVstart, provient d’une structure supérieure de type coeur de CPU. L’unité de contrôle (UC) locale de la division hardware génère les signaux de contrôle pour effectuer l’algorithme de division sur l’unité de traitement (UT) dédiée. Les données sont présentées stables en entrée par le coeur de CPU qui vient chercher les résultats de la division quand le signal DIVend est actif.

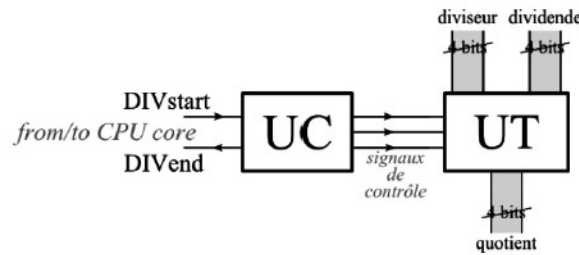


FIGURE 4.3 – Structure logique de l'algorithme de division

L'unité de traitement comprend 3 registres de données et un additionneur/soustracteur. Le registre A contient le dividende, B stocke le diviseur, P est un registre de travail.

- Le registre A possède trois commandes : **LOADA** charge le dividende, **SHIFTA** décale à gauche A d'un bit et **LOADA0** charge le bit de poids faible.
- Le registre B possède une seule commande : **LOADB** charge le diviseur.
- Le registre de travail P possède trois commandes : **RESETP** remet à zéro P, **SHIFTP** décale à gauche P d'un bit et **LOADP** charge le résultat de l'addition-soustraction.

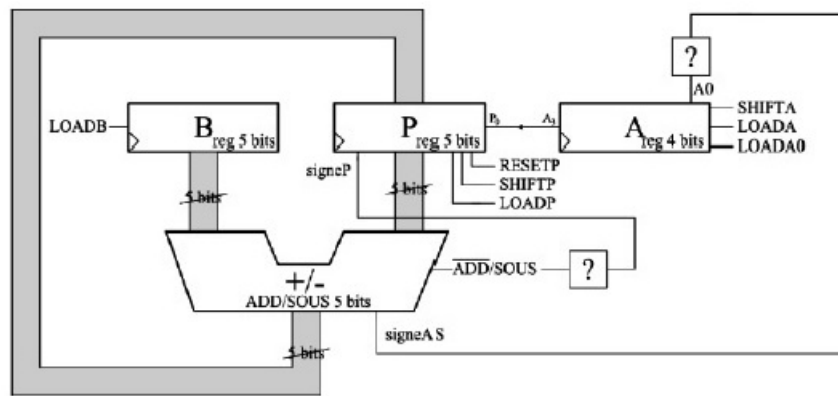


FIGURE 4.4 – Structure logique de l'unité de traitement

4.3 Réalisation de l'unité de contrôle

L'unité de contrôle doit piloter l'unité de traitement pour y effectuer l'algorithme de division. Pour l'unité de contrôle une structure de machine à états finis de type Moore est choisie.

4.3.1 Conception de l'unité de contrôle

L'opération de division sera contrôlée par une machine d'états selon le modèle de MOORE.

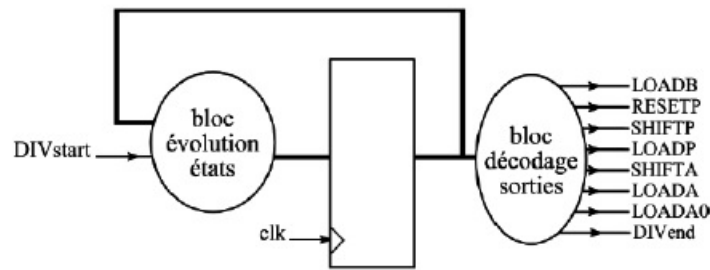


FIGURE 4.5 – Schéma de principe de l'unité de contrôle

- Le signal **DIVstart** démarre l'algorithme. Le registre conserve la valeur du quotient à la fin de l'algorithme.
- Une sortie **DIVend** indique quand le résultat est disponible.
- La période de l'horloge de cadencement, **clk**, de la machine d'état doit être supérieure au temps de calcul de l'additionneur/soustracteur.

Compétez le tableau suivant en vous inspirant de l'algorithme décrit en section 4.1.2.

Description	N°	loadB	resetP	shiftP	loadP	shiftA	loadA	loadA0	divend
début, attente divstart	0	0	0	0	0	0	0	0	0
charger A et B, reset P	1								
décalage	2								
charger A0 et P	3								
	4								
	5								
	6								
	7								
	8								
	9								
fin	10	0	0	0	0	0	0	0	1
début, attente divstart	0	0	0	0	0	0	0	0	0

Après analyse, des simplifications sont possibles et finalement, seuls 4 signaux de sortie pour l'unité de contrôle sont nécessaires pour piloter l'unité de traitement (figure 4.6).

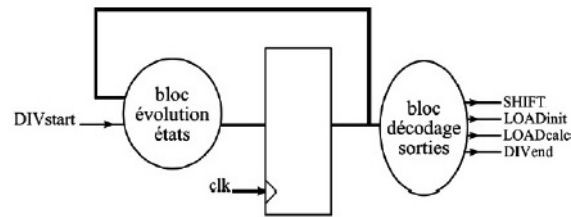


FIGURE 4.6 – Schéma de principe de l'unité de contrôle simplifiée

1. Que représentent les commandes **LOADcalc**, **LOADinit** et **SHIFT** ?
2. Dessiner le diagramme d'états et coder ses états.

4.3.2 Réalisation de la machine d'états

La réalisation proposée s'inspire directement du modèle de MOORE : 1 bloc mémoire et 2 blocs logiques combinatoires.

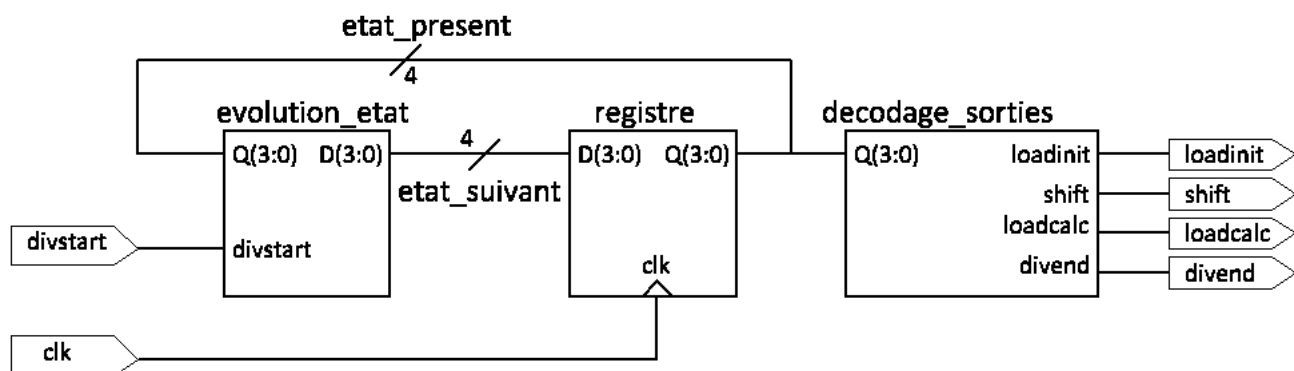


FIGURE 4.7 – Unité de contrôle

1. Créer un nouveau projet, nommé *division_arithmetique*.
2. Créer un nouveau circuit nommé *evolution_etat*. Réaliser le circuit *evolution_etat* à partir de sa table de vérité. Simuler son fonctionnement.
3. Créer un nouveau circuit nommé *registre*. En utilisant les bascules disponibles dans Logisim-Evolution, câbler l'architecture de l'entité *registre*. Simuler son fonctionnement.
4. Créer un nouveau circuit nommé *decodage_sorties*. Réaliser le circuit *decodage_sorties* à partir de sa table de vérité. Simuler son fonctionnement.
5. Créer un nouveau circuit nommé *UC*. Réaliser le circuit *UC* à partir des entités *evolution_etat*, *registre* et *decodage_sorties* selon le schéma précédent.
6. Simuler son fonctionnement.

4.4 L'unité de traitement

L'unité de traitement comporte un bloc combinatoire (l'additionneur) et trois registres A sur 4bits, B sur 5bits et P sur 5bits.

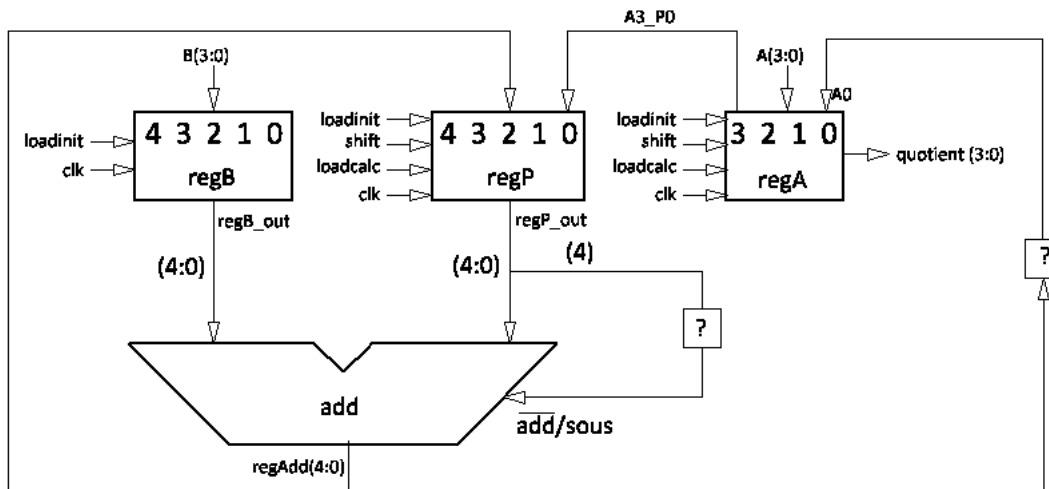


FIGURE 4.8 – Schéma de principe de l'unité de traitement

1. Créer un nouveau circuit nommé *regB*. Le bit de poids fort de *regB_out* sera toujours à 0.
2. Créer un nouveau circuit nommé *regP*.
3. Créer un nouveau circuit nommé *regA*.
4. Créer un nouveau circuit nommé *UT*.
 - (a) Quelle porte logique se trouve dans les carrés contenant un point d'interrogation ?
 - (b) Réaliser le circuit *UT* à partir des entités *regA*, *regB*, *regP* et *add_sous5* selon le schéma précédent.
 - (c) Simuler son fonctionnement (pensez à piloter la *clk* manuellement).

4.5 La division

La division, représentée par la figure suivante, consiste à assembler les 2 unités créées précédemment.

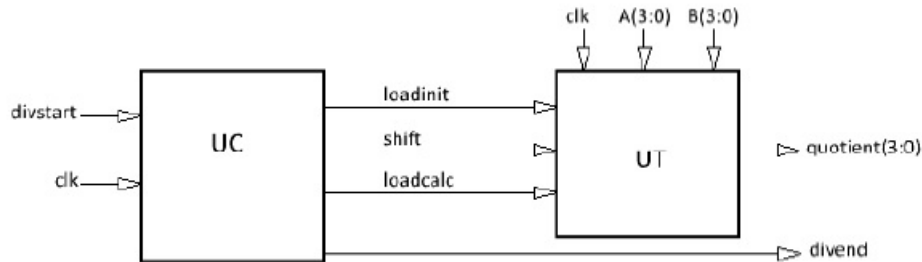


FIGURE 4.9 – Schéma de principe du montage division

1. Créer un nouveau circuit nommé *division_arithmetique* dont l'entité est représentée par le schéma précédent.
2. Réaliser le circuit *division_arithmetique* à partir des entités *UC* et *UT* selon le schéma précédent.
3. Simuler son fonctionnement.
4. Programmer le composant cible et tester le fonctionnement sur la maquette.

4.6 La division avec affichage

- Créer un nouveau projet *division_arithmetique_afficheur*.
- Ajouter la librairie du TP précédent : *affichage_sequentiel_multiplexe.circ* dans laquelle se trouve le circuit *affichage_sequentiel_multiplexe*.
- Ajouter la librairie du TP : *division_arithmetique.circ* dans laquelle se trouve le circuit *division_arithmetique*.
- Réaliser le circuit *division_arithmetique_afficheur* à partir des entités *division_arithmetique* et *affichage_sequentiel_multiplexe* qui permet d'afficher *A*, *1* et *B* sur les trois afficheurs de gauche et *quotient* sur l'afficheur de droite.
- Programmer le composant cible et tester le fonctionnement sur la maquette.

Chapitre 5

Le contrôleur VGA

Dans ce dernier TP, il vous est demandé d'implémenter un circuit qui génère des signaux VGA pour dessiner un écran de couleur unie (4096 choix de couleurs) sur votre moniteur dans une résolution de 800×600 (72Hz). Les documents suivants fournissent des descriptions détaillées du fonctionnement des signaux VGA et quelques conseils sur la conception du contrôleur VGA.

5.1 Présentation du VGA

VGA signifie Video Graphics Array. Initialement, il se réfère spécifiquement au matériel d'affichage introduit pour la première fois avec l'ordinateur IBM® PS/2 en 1987. Avec son utilisation généralisée, il fait désormais généralement référence aux normes d'affichage analogiques des ordinateurs (définies par VESA®), le connecteur DB-15 (généralement connu sous le nom de connecteur VGA).

Les normes d'affichage d'ordinateur analogique sont spécifiées, publiées, protégées par copyright et vendues par l'organisation VESA (www.vesa.org). Les informations de synchronisation utilisées dans ce TP sont un exemple de la façon dont un moniteur VGA peut être piloté dans une résolution de 800×600 .

Un connecteur DB-15 est un connecteur subminiature D à 15 broches à trois rangées (du nom de leur blindage métallique en forme de D). Le nom de chaque broche est illustré à la figure 5.1 . Nous nous concentrerons uniquement sur les 5 signaux suivant : Red, Grn, Blue, HS et VS. Red, Grn et Blue sont trois signaux analogiques qui spécifient la couleur d'un point sur l'écran, tandis que HS et VS fournissent une référence de position de l'endroit où le point doit être affiché sur l'écran. En pilotant correctement ces cinq signaux conformément à la spécification de synchronisation VGA, nous pouvons afficher tout ce que nous voulons sur n'importe quel moniteur. Pour comprendre comment ces signaux doivent être pilotés, nous devons examiner le fonctionnement réel de nos moniteurs.

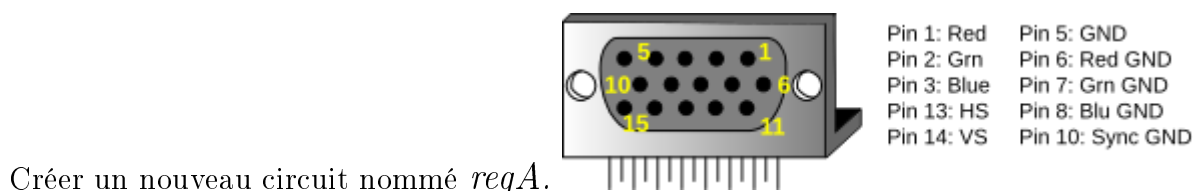


FIGURE 5.1 – Brochage d'un connecteur DB-15 (VGA)

5.2 Comment fonctionnent nos moniteurs ?

Les écrans VGA basés sur CRT (cathode-ray tube) utilisent des faisceaux d'électrons mobiles modulés en amplitude (ou rayons cathodiques) pour afficher des informations sur un écran recouvert de phosphore. Les écrans LCD utilisent un réseau de commutateurs qui peuvent imposer une tension sur une petite quantité de cristaux liquides, modifiant ainsi la permittivité de la lumière à travers le cristal pixel par pixel. Bien que la description suivante soit limitée aux écrans CRT, les écrans LCD ont évolué pour utiliser les mêmes synchronisations de signal que les écrans CRT (la discussion sur les « signaux » ci-dessous concerne donc à la fois les écrans CRT et les écrans LCD). Les écrans CRT couleur utilisent trois faisceaux d'électrons (un pour le rouge, un pour le bleu et un pour le vert) pour dynamiser le luminophore qui recouvre la face interne de l'extrémité d'affichage d'un tube à rayons cathodiques (voir Figure ci-dessous).

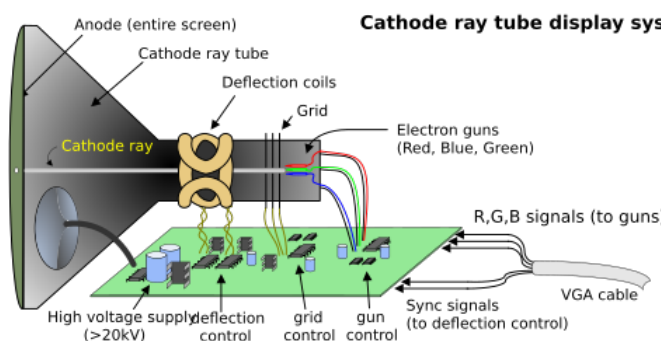


FIGURE 5.2 – Fonctionnement d'un moniteur CRT

Les faisceaux d'électrons émanent de « canons à électrons » qui sont des cathodes chauffées à pointe fine placées à proximité d'une plaque annulaire chargée positivement appelée « grille ». La force électrostatique imposée par la grille tire les rayons d'électrons sous tension des cathodes, et ces rayons sont alimentés par le courant qui circule dans les cathodes. Ces rayons de particules sont initialement accélérés vers la grille, mais ils tombent rapidement sous l'influence de la force électrostatique beaucoup plus grande qui résulte de la charge de toute la surface d'affichage recouverte de phosphore du CRT à 20 kV (ou plus). Les rayons sont focalisés en un faisceau fin lorsqu'ils traversent le centre des grilles, puis ils accélèrent pour impacter la surface d'affichage recouverte de phosphore. La surface du phosphore brille

vivement au point d'impact, et il continue à briller pendant plusieurs centaines de microsecondes après le retrait du faisceau. Plus le courant introduit dans la cathode est important, plus le phosphore brillera.

Entre la grille et la surface d'affichage, le faisceau traverse le col du CRT où deux bobines de fil produisent des champs électromagnétiques orthogonaux. Comme les rayons cathodiques sont composés de particules chargées (électrons), ils peuvent être déviés par ces champs magnétiques. Les formes d'onde de courant traversent les bobines pour produire des champs magnétiques qui interagissent avec les rayons cathodiques et les amènent à traverser la surface d'affichage selon un motif «trame», horizontalement de gauche à droite et verticalement de haut en bas, comme illustré sur la figure ci-dessous. Lorsque le rayon cathodique se déplace sur la surface de l'affichage, le courant envoyé aux canons à électrons peut être augmenté ou diminué pour modifier la luminosité de l'affichage au point d'impact du rayon cathodique.

Les informations ne sont affichées que lorsque le faisceau se déplace dans le sens « avant » (de gauche à droite et de haut en bas), et non pendant le temps où le faisceau est réinitialisé sur le bord gauche ou supérieur de l'écran. Une grande partie du temps d'affichage potentiel est donc perdue dans des périodes de « suppression » lorsque le faisceau est réinitialisé et stabilisé pour commencer un nouveau passage d'affichage horizontal ou vertical. La taille des faisceaux, la fréquence à laquelle le faisceau peut être tracé sur l'écran et la fréquence à laquelle le faisceau d'électrons peut être modulé déterminent la résolution de l'affichage.

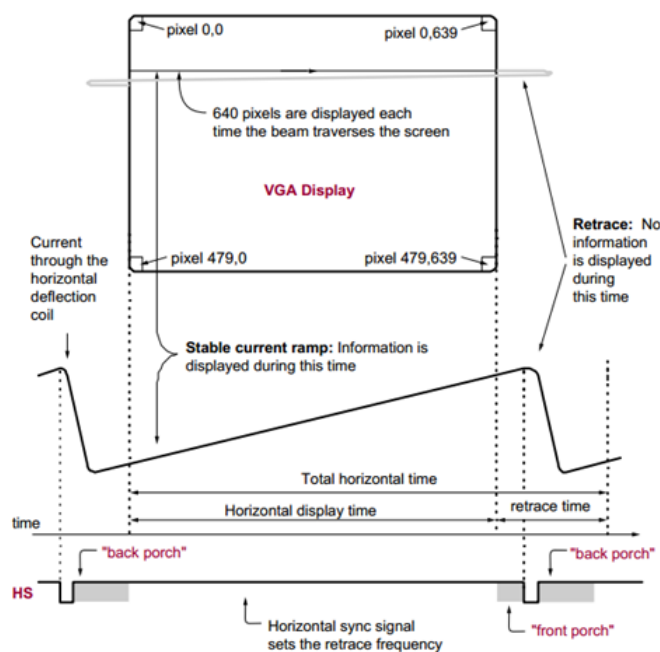


FIGURE 5.3 – Fonctionnement de l'affichage sur un moniteur CRT

5.3 Spécification de synchronisation VGA

Les écrans VGA modernes peuvent prendre en charge différentes résolutions, et un circuit de contrôleur VGA dicte la résolution en produisant des signaux de synchronisation pour contrôler les modèles de trame. Le contrôleur doit produire des impulsions de synchronisation à 3,3 V (ou 5 V) pour régler la fréquence à laquelle le courant circule dans les bobines de déviation, et il doit garantir que les données vidéo sont appliquées aux canons à électrons au bon moment. Les affichages vidéo raster (Image matricielle) définissent un certain nombre de "lignes" qui correspondent au nombre de passages horizontaux que la cathode effectue sur la zone d'affichage, et un certain nombre de "colonnes" qui correspondent à une zone sur chaque ligne qui est affectée à un "élément d'image" , ou pixel. Les affichages typiques utilisent de 240 à 1200 lignes et de 320 à 1600 colonnes. La taille globale d'un affichage et le nombre de lignes et de colonnes déterminent la taille de chaque pixel.

Les données vidéo proviennent généralement d'une mémoire vidéo (VRAM); avec un ou plusieurs octets attribués à chaque emplacement de pixel (la carte BASYS3 utilise 12 bits (3*4bits) par pixel). Le contrôleur doit parcourir le contenu mémoire lorsque les faisceaux se déplacent sur l'écran. Il récupère et applique les données vidéo à l'écran précisément au moment où le faisceau d'électrons se déplace sur un pixel donné.

Un circuit contrôleur VGA doit générer les signaux de synchronisation HS et VS et coordonner la livraison des données vidéo sur la base de l'horloge pixel. L'horloge pixel définit le temps disponible pour afficher un pixel d'information. Le signal VS définit la fréquence de "rafraîchissement" de l'affichage, ou la fréquence à laquelle toutes les informations sur l'affichage sont redessinées. La fréquence de rafraîchissement minimale est fonction de l'intensité du phosphore et du faisceau d'électrons de l'écran, avec des fréquences de rafraîchissement pratiques comprises entre 50 Hz et 120 Hz. Le nombre de lignes à afficher à une fréquence de rafraîchissement donnée définit la fréquence de « retracement » horizontal.

5.4 Spécification de synchronisation pour 800x600@72Hz

La figure ci-dessous et le tableau ci-dessous fournissent les spécifications de synchronisation pour une résolution de 800×600 à une fréquence d'images de 72 Hz :

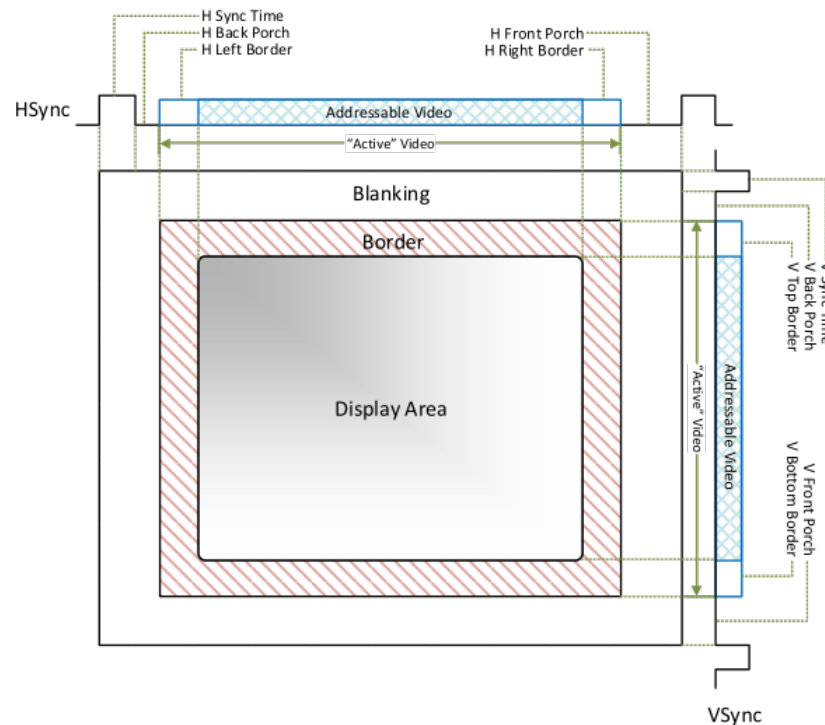


FIGURE 5.4 – Spécification des signaux HS et VS

Description	Notation	Temps	Largeur/Freq
Pixel Clk	T_{pix}	20 ns	50MHz
Horizontal Sync Time	T_{hs}	2.4 μ s	120 Pixels
Horizontal Back Porch	T_{hbp}	1.28 μ s	64 Pixels
Horizontal Front Porch	T_{hfp}	1.12 μ s	56 Pixels
Horizontal Addressable Video Time	T_{haddr}	16 μ s	800 Pixels
Horizontal Adressable L/R Border	T_{hbd}	0 μ s	0 Pixels
Whole Line Time	T_l	20.8 μ s	1040 Pixels
Vertical Sync Time	T_{vs}	124,8 μ s	6 Lines
Vertical Back Porch	T_{vbp}	478.4 μ s	23 Lines
Vertical Front Porch	T_{vfp}	769.6 μ s	37 Lines
Vertical Addressable Video Time	T_{vaddr}	12.48 ms	600 Lines
Vertical Adressable L/R Border	T_{vbd}	0 μ s	0 Lines
Whole Frame Time	T_f	13.8528 ms	666 Lines

TABLE 5.1 – Spécifications des timings

5.5 Astuces

Tout d'abord, vous avez besoin d'un diviseur d'horloge pour générer l'horloge pixel, qui fournit une référence temporelle aux signaux HS et VS. La fréquence d'horloge des pixels est de 50 MHz dans la spécification.

Deuxièmement, vous avez besoin de deux compteurs, un compteur (compteur horizontal) pour compter les pixels dans chaque ligne et un autre compteur (compteur vertical) pour compter les lignes dans une trame. Le compteur horizontal doit se réinitialiser lorsqu'il atteint la fin de la ligne (1039 dans ce cas), et lorsqu'il se réinitialise, il doit fournir un signal à l'entrée Enable du compteur vertical afin que le compteur vertical puisse ajouter 1 lorsqu'une nouvelle ligne commence. De même, le compteur vertical doit se réinitialiser lorsqu'il atteint la fin de la trame.

Les valeurs des compteurs sont ensuite comparées aux constantes définies dans la spécification pour générer les signaux HS, VS et le signal de commande du multiplexeur.

La figure ci-dessous montre la génération HS et VS basée sur les valeurs de compteur :

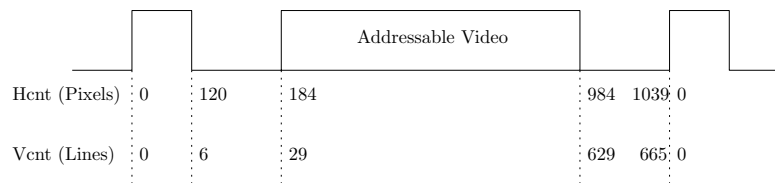


FIGURE 5.5 – Spécification des signaux HS et VS

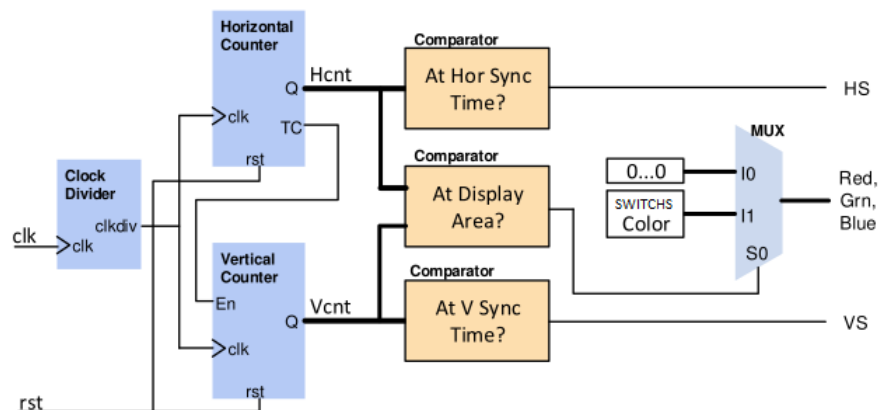


FIGURE 5.6 – Schéma fonctionnel du controleur VGA

5.6 Travail à réaliser

1. Réaliser le controleur VGA 800x600@72Hz.
2. En utilisant 12 switches d'entrées (4 pour chaque couleur), tester sur la carte Basys3 le changement de couleur sur le moniteur (image unie).
3. Créer un nouveau circuit qui :
 - (a) sera constitué d'une mémoire dans laquelle vous rajouterez le fichier "image.txt" disponible sur Moodle. Utiliser le composant ROM de Logisim.

(b) viendra lire les pixels contenus dans la mémoire et les transfèrera correctement au contrôleur VGA .

4. Quelle image s'affiche ?

Chapitre 6

Annexes

MC14001UB, MC14011UB

UB-Suffix Series CMOS Gates

The UB Series logic gates are constructed with P and N channel enhancement mode devices in a single monolithic structure (Complementary MOS). Their primary use is where low power dissipation and/or high noise immunity is desired. The UB set of CMOS gates are inverting non-buffered functions.

- Supply Voltage Range = 3.0 Vdc to 18 Vdc
- Linear and Oscillator Applications
- Capable of Driving Two Low-power TTL Loads or One Low-power Schottky TTL Load Over the Rated Temperature Range
- Double Diode Protection on All Inputs
- Pin-for-Pin Replacements for Corresponding CD4000 Series UB Suffix Devices

MAXIMUM RATINGS (Voltages Referenced to V_{SS}) (Note 1.)

Symbol	Parameter	Value	Unit
V_{DD}	DC Supply Voltage Range	-0.5 to +18.0	V
V_{in}, V_{out}	Input or Output Voltage Range (DC or Transient)	-0.5 to $V_{DD} + 0.5$	V
I_{in}, I_{out}	Input or Output Current (DC or Transient) per Pin	± 10	mA
P_D	Power Dissipation, per Package (Note 2.)	500	mW
T_A	Ambient Temperature Range	-55 to +125	$^{\circ}\text{C}$
T_{stg}	Storage Temperature Range	-65 to +150	$^{\circ}\text{C}$
T_L	Lead Temperature (8-Second Soldering)	260	$^{\circ}\text{C}$

1. Maximum Ratings are those values beyond which damage to the device may occur.
2. Temperature Derating:
Plastic "P and D/DW" Packages: - 7.0 mW/ $^{\circ}\text{C}$ From 65 $^{\circ}\text{C}$ To 125 $^{\circ}\text{C}$

This device contains protection circuitry to guard against damage due to high static voltages or electric fields. However, precautions must be taken to avoid applications of any voltage higher than maximum rated voltages to this high-impedance circuit. For proper operation, V_{in} and V_{out} should be constrained to the range $V_{SS} \leq (V_{in} \text{ or } V_{out}) \leq V_{DD}$.

Unused inputs must always be tied to an appropriate logic voltage level (e.g., either V_{SS} or V_{DD}). Unused outputs must be left open.

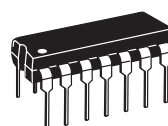


ON Semiconductor

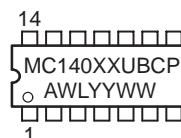
<http://onsemi.com>

MC14001UB Quad 2-Input NOR Gate MC14011UB Quad 2-Input NAND Gate

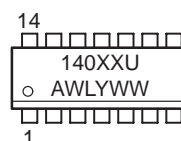
MARKING DIAGRAMS



**PDIP-14
P SUFFIX
CASE 646**



**SOIC-14
D SUFFIX
CASE 751A**



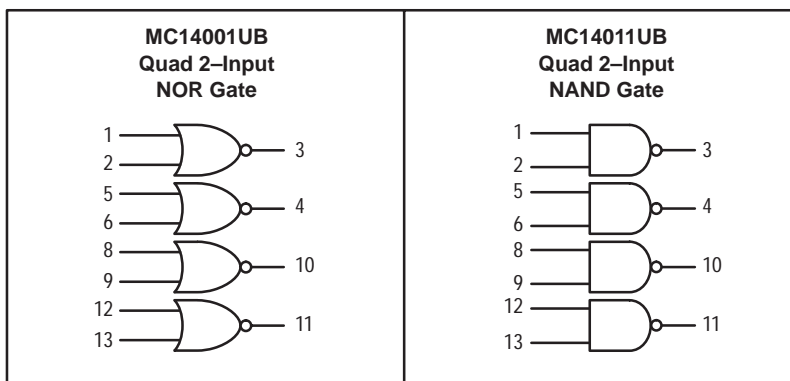
XX = Specific Device Code
A = Assembly Location
WL or L = Wafer Lot
YY or Y = Year
WW or W = Work Week

ORDERING INFORMATION

Device	Package	Shipping
MC14001UBCP	PDIP-14	2000/Box
MC14001UBD	SOIC-14	55/Rail
MC14001UBDR2	SOIC-14	2500/Tape & Reel
MC14011UBCP	PDIP-14	2000/Box
MC14011UBD	SOIC-14	55/Rail
MC14011UBDR2	SOIC-14	2500/Tape & Reel

MC14001UB, MC14011UB

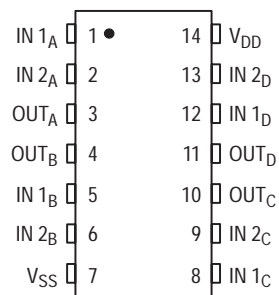
LOGIC DIAGRAMS



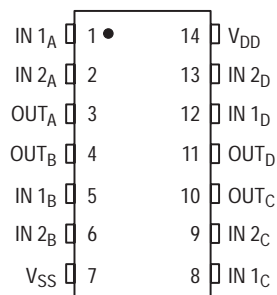
V_{DD} = PIN 14
 V_{SS} = PIN 7
 FOR ALL DEVICES

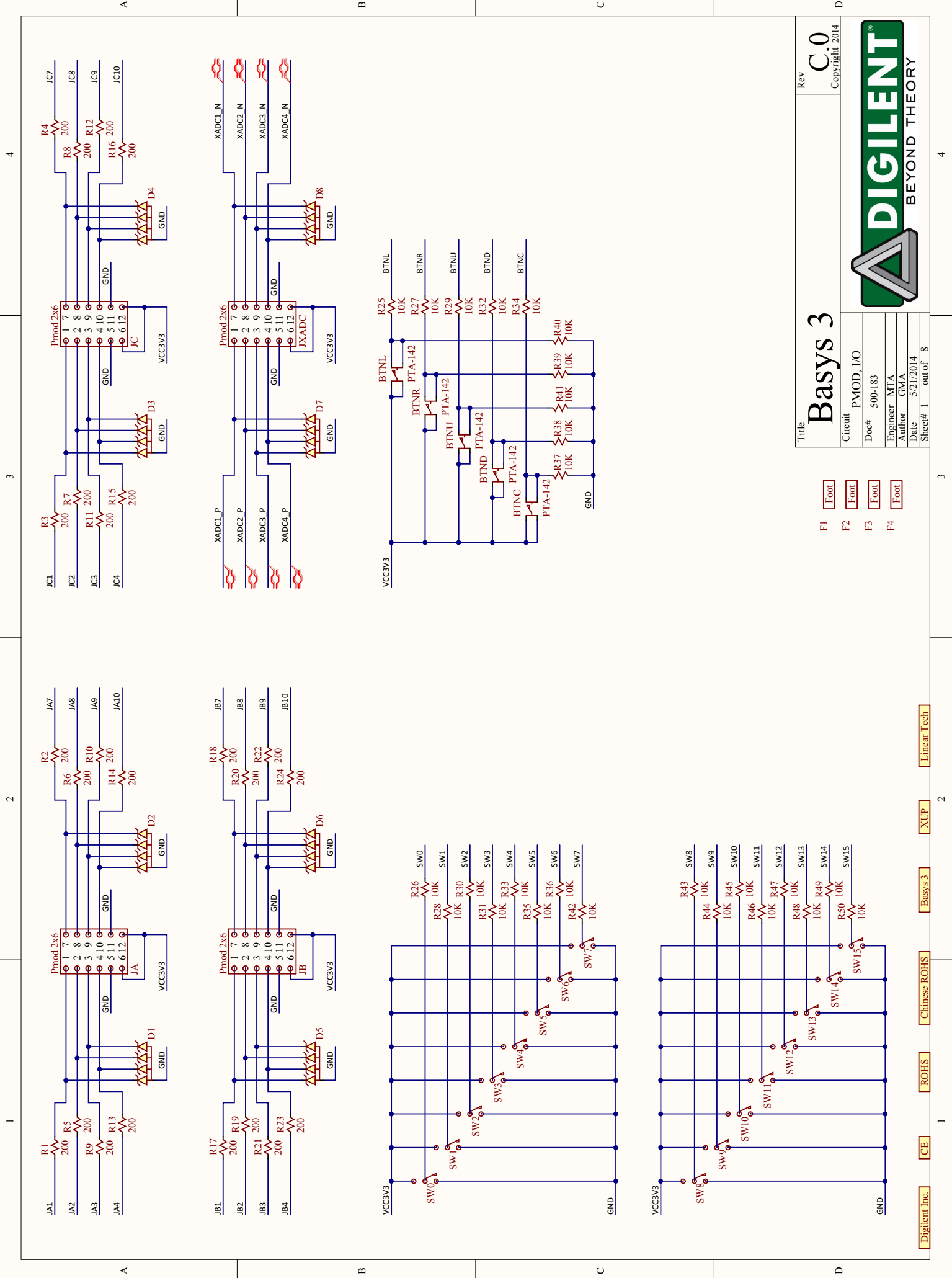
PIN ASSIGNMENTS

MC14001UB
Quad 2-Input NOR Gate



MC14011UB
Quad 2-Input NAND Gate





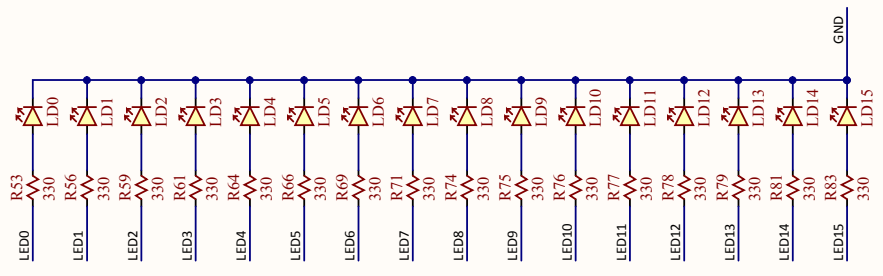
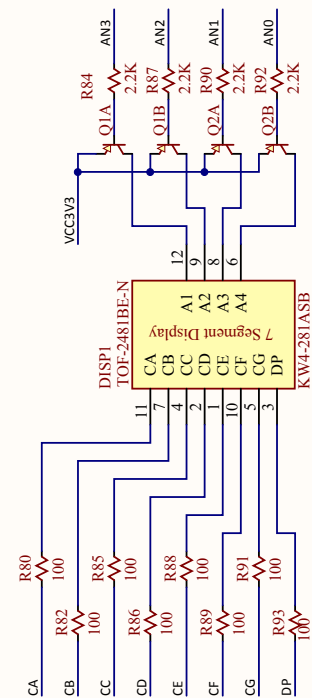
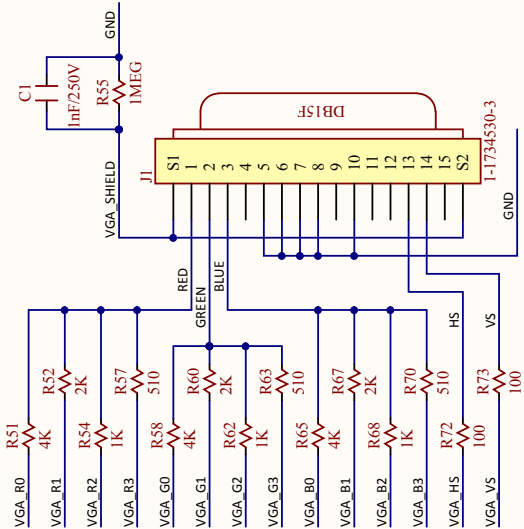
Title **Basys 3**

Rev **C.0**
Copyright 2014

Circuit	PMOD, I/O
Doc#	500-183
Engineer	MTA
Author	GMA
Date	5/21/2014
Sheet#	1 out of 8

- F1 Foot
- F2 Foot
- F3 Foot
- F4 Foot



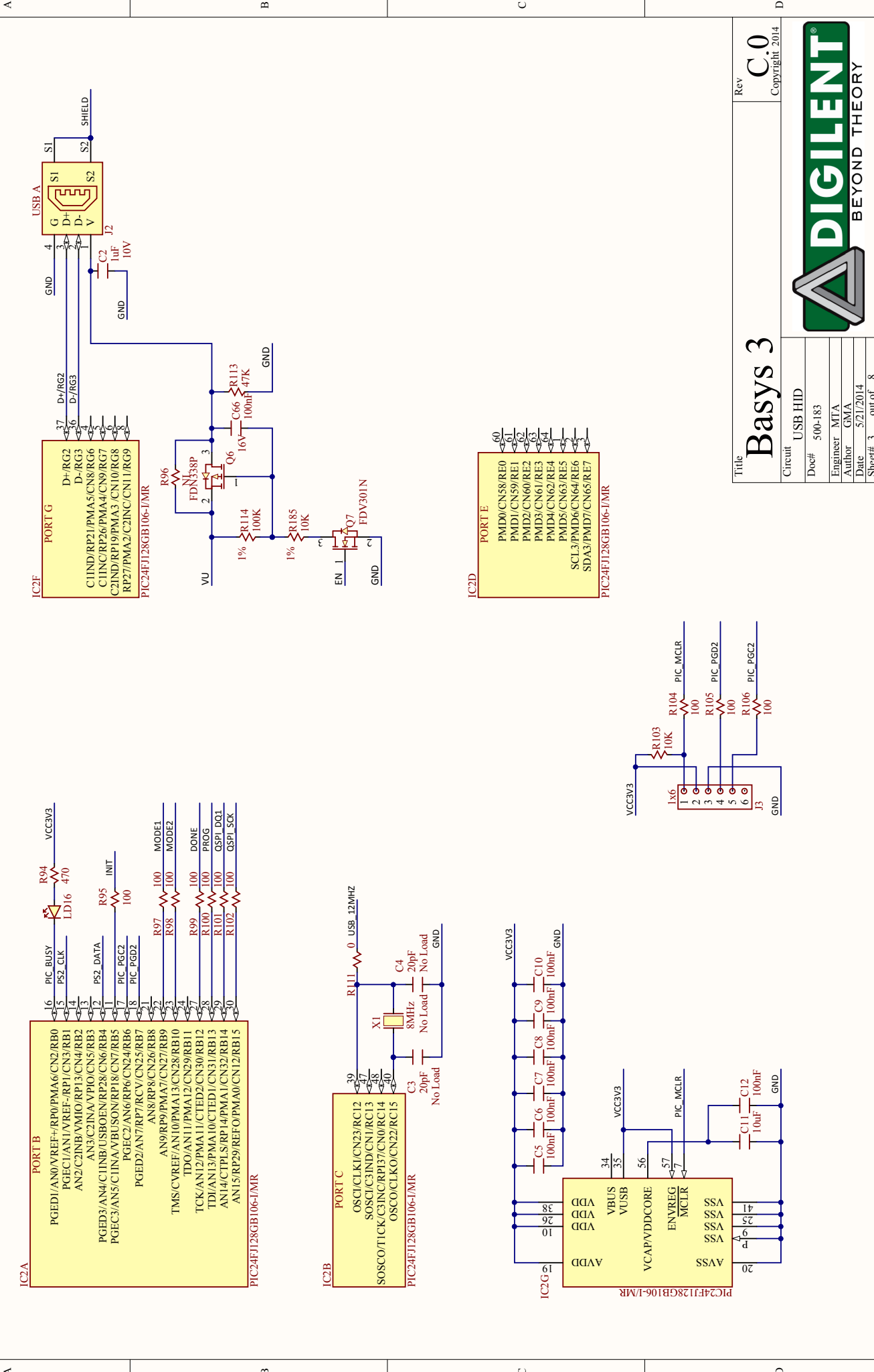


Title **Basys 3**

Rev **C.0**
Copyright 2014

Circuit	7 SEG, VGA, LEDs
Doc#	500-183
Engineer	MTA
Author	GMA
Date	5/21/2014
Sheet#	2 out of 8



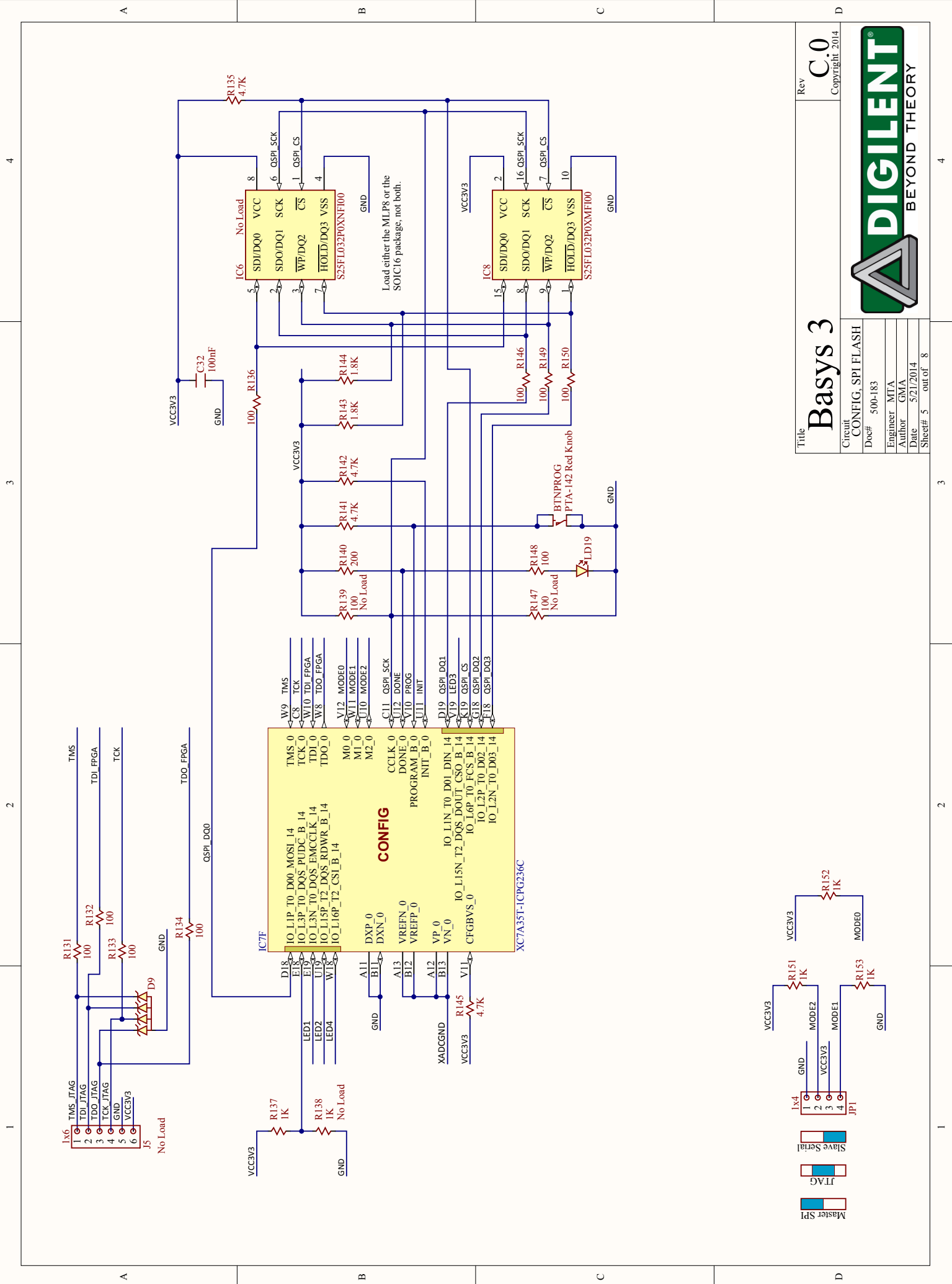


Basys 3

Rev C.0
Copyright 2014



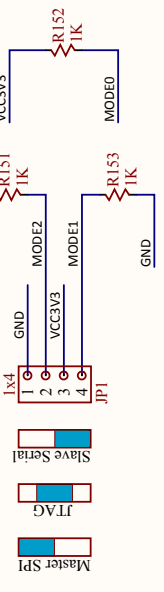
Title	USB HID
Circuit	500-183
Doc#	Engineer MTA
Author	GMA
Date	5/21/2014
Sheet#	3 out of 8

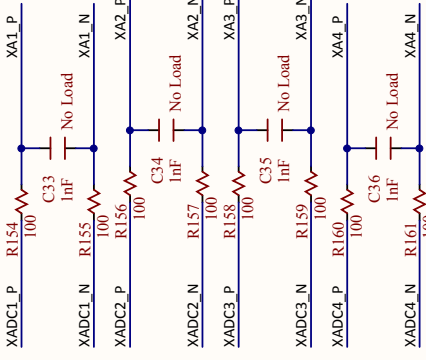


Basys 3

Rev C.0
Copyright 2014

Title		Circuit CONFIG, SPI FLASH	
Doc#	500-183	Engineer	MTA
		Author	GMA
		Date	5/21/2014
Sheet#	5	out of	8





Circuit	FPGA BANKS
Doc#	500-183
Engineer	MTA
Author	GMA
Date	5/21/2014
Sheet#	6 out of 8



IC7C

BANK 34

- IO_L1P_T0_34 SW15
- IO_L1N_T0_34 SW10
- IO_L2P_T0_34 SW11
- IO_L2N_T0_34 SW9
- IO_L3P_T0_DQS_34 U1 SW13
- IO_L3N_T0_DQS_34 V2 SW8
- IO_L5P_T0_34 W2 SW12
- IO_L5N_T0_34 W3 LED9
- IO_L6P_T0_34 W3 LED10
- IO_L6N_T0_VREF_34 U3 LED11
- IO_L9P_T1_DQS_34 U2 AN0
- IO_L9N_T1_DQS_34 U4 AN1
- IO_L11P_T1_SRCC_34 V4 AN3
- IO_L11N_T1_SRCC_34 W5 CLK100MHZ
- IO_L12P_T1_MRCC_34 W4 AN3
- IO_L12N_T1_MRCC_34 W7 CA
- IO_L13P_T2_MRCC_34 W6 CB
- IO_L13N_T2_MRCC_34 U8 CC
- IO_L14P_T2_SRCC_34 V8 CD
- IO_L14N_T2_SRCC_34 U5 CE
- IO_L16P_T2_34 U3 CF
- IO_L16N_T2_34 U7 CG
- IO_L19P_T3_34 V7 DP
- IO_L19N_T3_VREF_34 V7 DP

XC7A35T-1CPG236C

IC7D

BANK 35

- IO_L1P_T0_ADAP_35 G3 JA10
- IO_L1N_T0_AD4N_35 G2 JA4
- IO_L2P_T0_AD12P_35 J2 JA9
- IO_L2N_T0_AD12N_35 J2 JA3
- IO_L3P_T0_DQS_ADSF_35 J1 JA7
- IO_L3N_T0_DQS_ADSN_35 J2 JA8
- IO_L5P_T0_AD13P_35 J2 JA2
- IO_L5N_T0_AD13N_35 J1 JA2
- IO_L6N_T0_VREF_35 J3 LED15
- IO_L7P_T1_AD6P_35 J3 XA1_P
- IO_L7N_T1_AD6N_35 J3 XA1_N
- IO_L8P_T1_AD14P_35 J3 XA2_P
- IO_L8N_T1_AD14N_35 J3 XA2_N
- IO_L9P_T1_DQS_AD7P_35 J2 XA3_P
- IO_L9N_T1_DQS_AD7N_35 J1 XA3_N
- IO_L10P_T1_AD15P_35 N2 XA4_P
- IO_L10N_T1_AD15N_35 N1 XA4_N
- IO_L12P_T1_MRCC_35 J3 LED13
- IO_L12N_T1_MRCC_35 J3 LED12
- IO_L19N_T3_VREF_35 J1 LED14

XC7A35T-1CPG236C

IC7E

BANK 216

- MGTRREF_216 C7
- MGTPXP0_216 D1
- MGTPXN0_216 B2
- MGTPXP1_216 A2
- MGTPXN1_216 B8
- MGTRFCLK0P_216 A8
- MGTRFCLK0N_216 B10
- MGTRFCLK1P_216 A10
- MGTRFCLK1N_216 B10
- MGTPRXP0_216 B4
- MGTPRXN0_216 A4
- MGTPXP1_216 B6
- MGTPXN1_216 A6

XC7A35T-1CPG236C

IC7A

BANK 14

- VGA_G3 D17
- LED6 U14
- IO_0_14
- IO_25_14
- IO_L4P_T0_D04_14 H19
- IO_L4N_T0_D05_14 G19
- IO_L5P_T0_D06_14 H17
- IO_L5N_T0_D07_14 G17
- IO_L6N_T0_D08_VREF_14 G19
- IO_L7P_T1_D09_14 H18
- IO_L7N_T1_D10_14 G18
- IO_L8P_T1_D11_14 H18
- IO_L8N_T1_D12_14 G18
- IO_L9P_T1_DQS_14 H19
- IO_L9N_T1_DQS_D13_14 G19
- IO_L10P_T1_D14_14 H19
- IO_L10N_T1_D15_14 G19
- IO_L11P_T1_SRCC_14 H18
- IO_L11N_T1_SRCC_14 G18
- IO_L12P_T1_MRCC_14 H17
- IO_L12N_T1_MRCC_14 G17
- IO_L13P_T2_MRCC_14 H17
- IO_L13N_T2_MRCC_14 G17
- IO_L14P_T2_SRCC_14 H18
- IO_L14N_T2_SRCC_14 G18
- IO_L16N_T2_A15_D31_14 H19
- IO_L17P_T2_A14_D30_14 H19
- IO_L17N_T2_A13_D29_14 H18
- IO_L18P_T2_A12_D28_14 H17
- IO_L18N_T2_A11_D27_14 H16
- IO_L19P_T3_A10_D26_14 H17
- IO_L19N_T3_A09_D25_VREF_14 G16
- IO_L20P_T3_A08_D24_14 H16
- IO_L20N_T3_A07_D23_14 H15
- IO_L21P_T3_DQS_14 H15
- IO_L21N_T3_DQS_A06_D22_14 H15
- IO_L22P_T3_A05_D21_14 H14
- IO_L22N_T3_A04_D20_14 H14
- IO_L23P_T3_A03_D19_14 H15
- IO_L23N_T3_A02_D18_14 H16
- IO_L24P_T3_A01_D17_14 H15
- IO_L24N_T3_A00_D16_14 H14

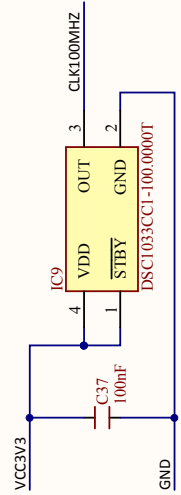
XC7A35T-1CPG236C

IC7B

BANK 16

- IO_L6P_T0_VREF_16 A14
- IO_L6N_T0_VREF_16 A15
- IO_L11P_T1_SRCC_16 B15
- IO_L11N_T1_SRCC_16 B15
- IO_L12P_T1_MRCC_16 A16
- IO_L12N_T1_MRCC_16 A17
- IO_L13P_T2_MRCC_16 B16
- IO_L13N_T2_MRCC_16 B16
- IO_L14P_T2_SRCC_16 C17
- IO_L14N_T2_SRCC_16 B17
- IO_L19P_T3_16 B18
- UART_TXD_IN A18
- UART_RXD_OUT A18

XC7A35T-1CPG236C

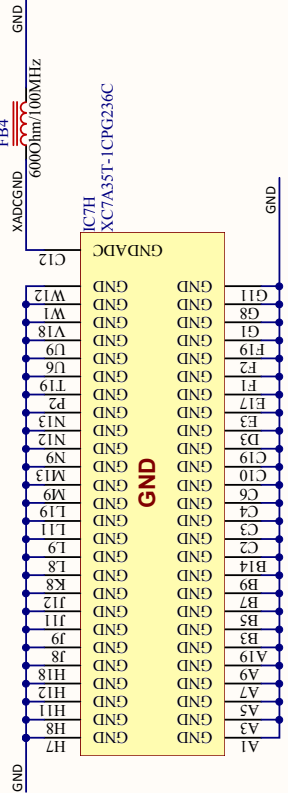
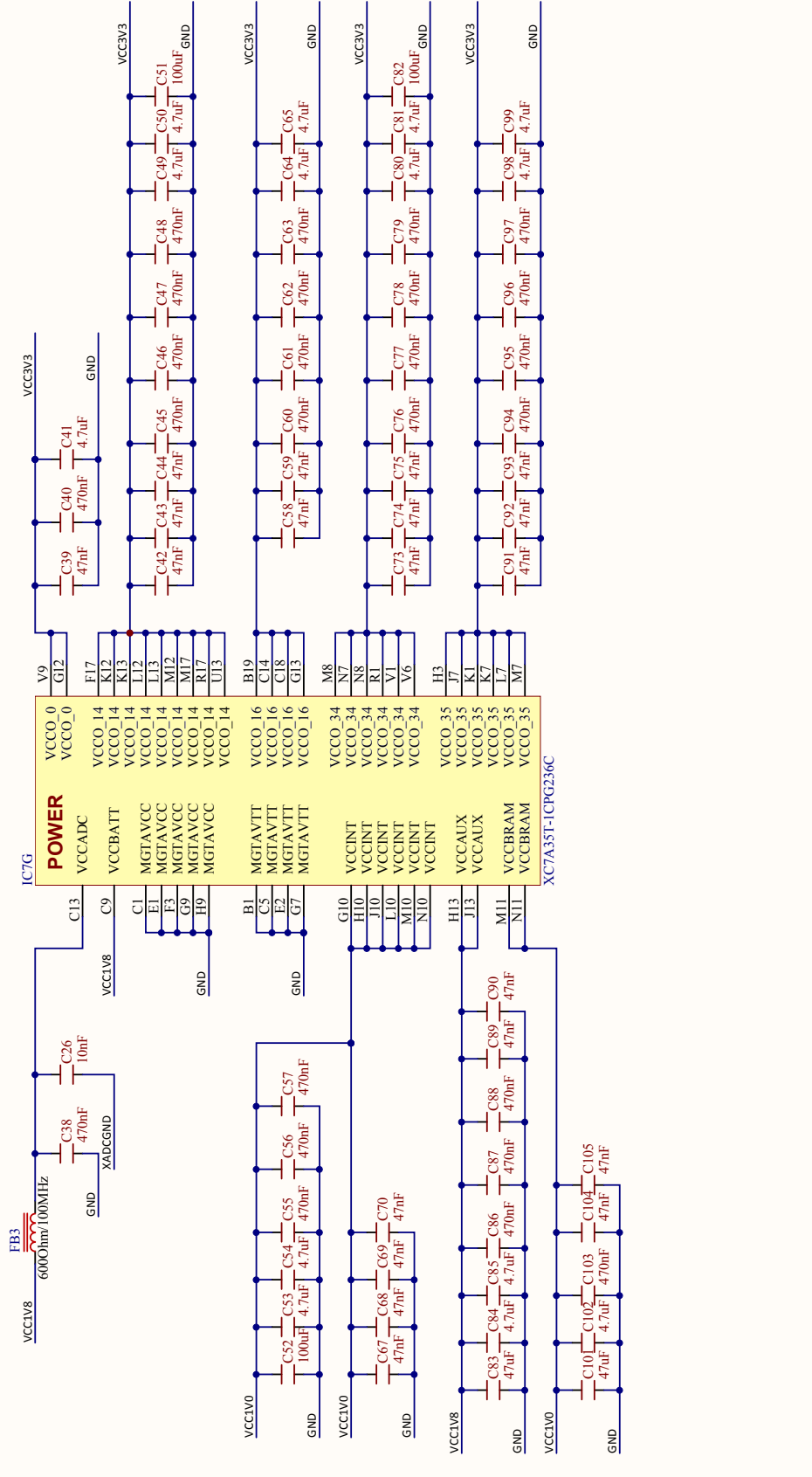


A

B

C

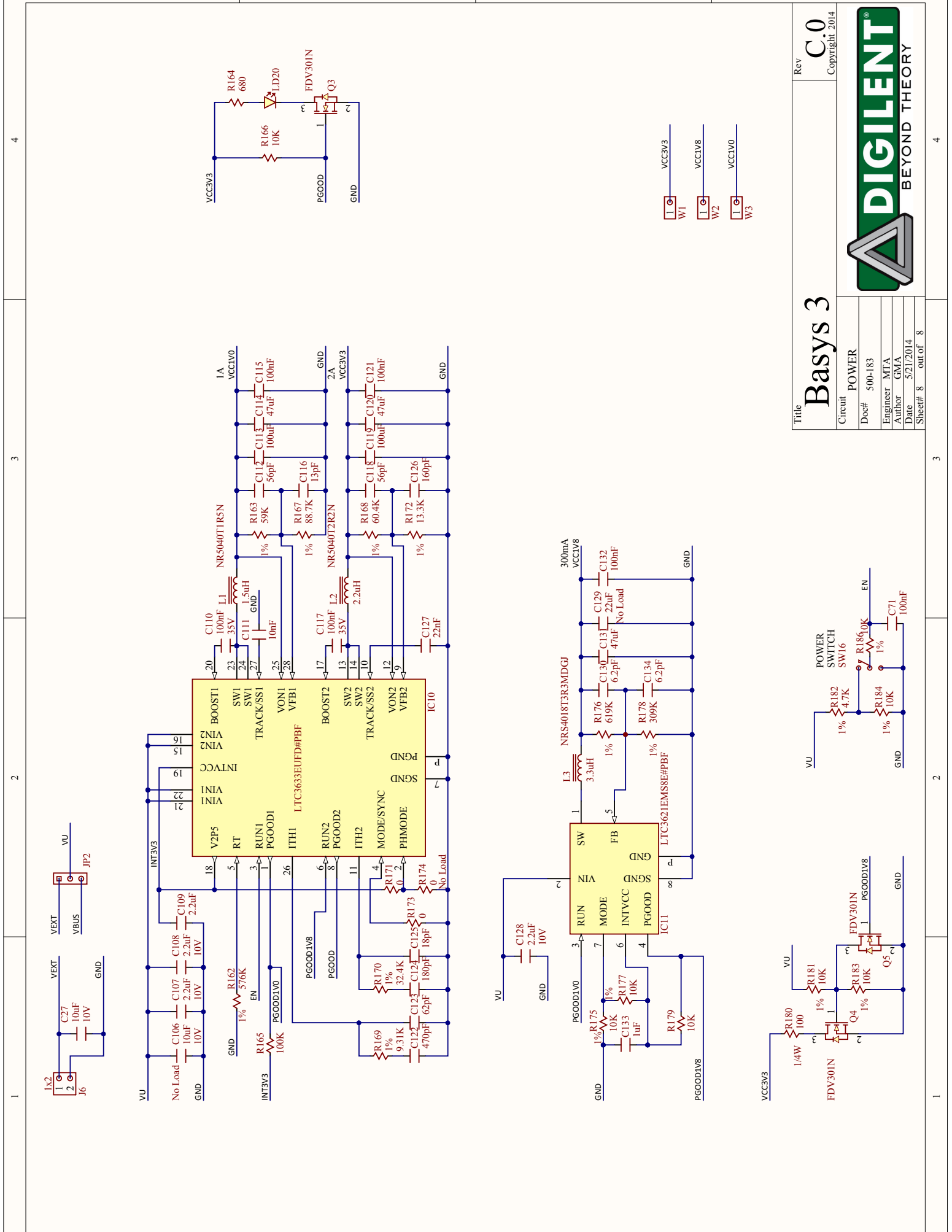
D



Title **Basys 3**
 Rev **C.0**
 Copyright 2014

Circuit	FPGA POWER
Doc#	500-183
Engineer	MTA
Author	GMA
Date	5/21/2014
Sheet#	7 out of 8





Title		Basys 3	
Circuit		POWER	
Doc#	500-183	Rev	C.0
Engineer	MTA	Copyright 2014	
Author	GMA		
Date	5/21/2014		
Sheet#	8	out of	8

